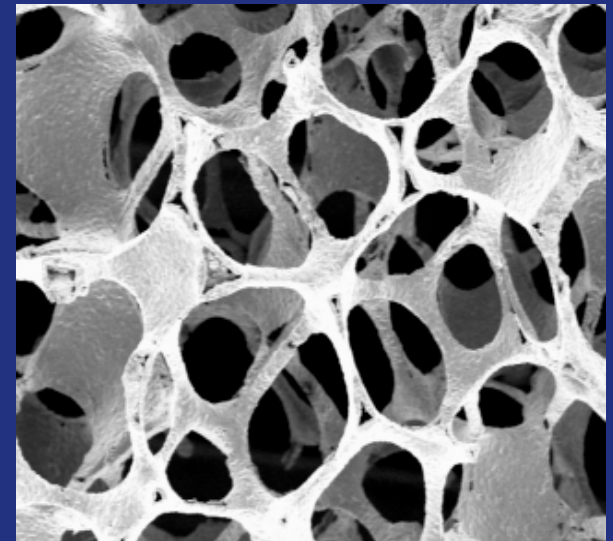
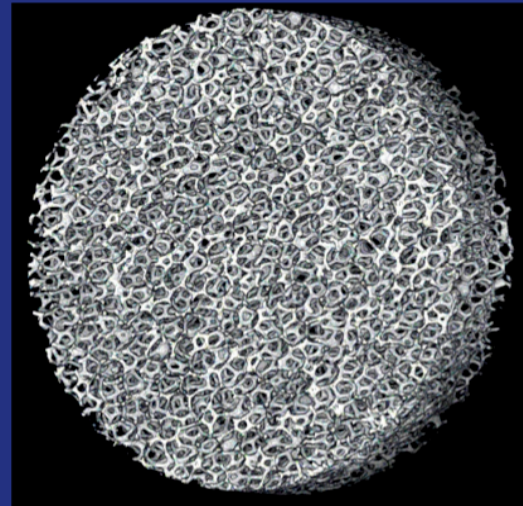


MILIEUX CELLULAIRES OUVERTS : STRUCTURE ET PROPRIETES DE TRANSPORT

F. Topin

J.P. Bonnet
E. Brun
J.M. Hugo
Y. Jobic
R.Occelli
J. Vicente



Polytech' Marseille Dpt Mécanique Energétique
Laboratoire IUSTI - CNRS- UMR 7343
Technopôle de Château-Gombert
5, Rue Enrico Fermi 13453 Marseille Cedex 13 – France

Contexte

- Compréhension des transferts de chaleur et de masse dans les poreux
- Impact de la structure sur les propriétés thermophysiques et d'écoulement

Expériences :

Configuration simplifiée

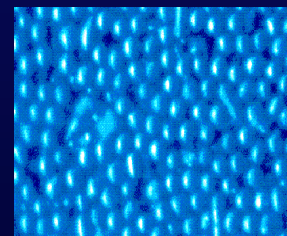
Conditions contrôlées

Structures modèles/Milieux réels

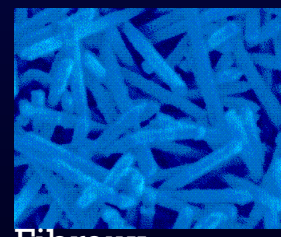
Modèles :

Physique à l' échelle du pore

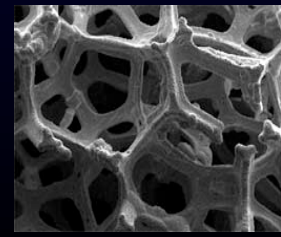
Couplages à l' échelle de l' échantillon



Lits de billes

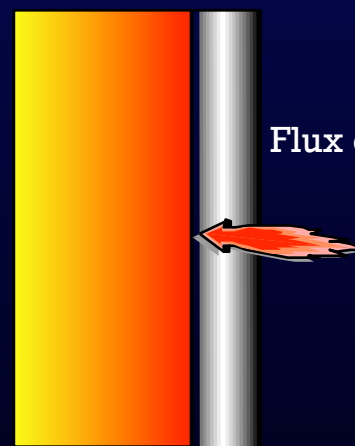


Fibreux



Mousses solides

Modèles physique



Flux de chaleur



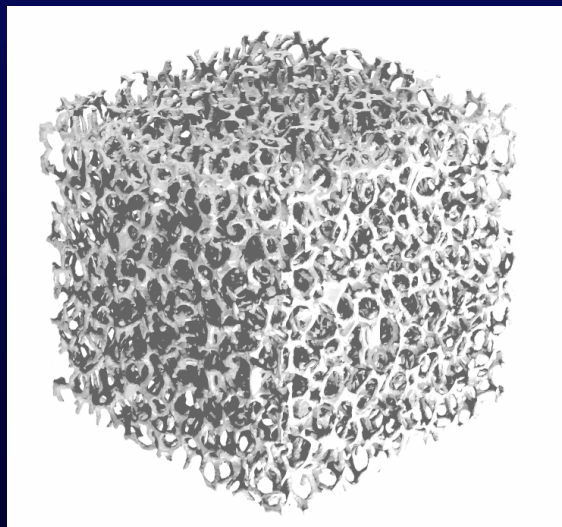
Flux de masse

Propriétés

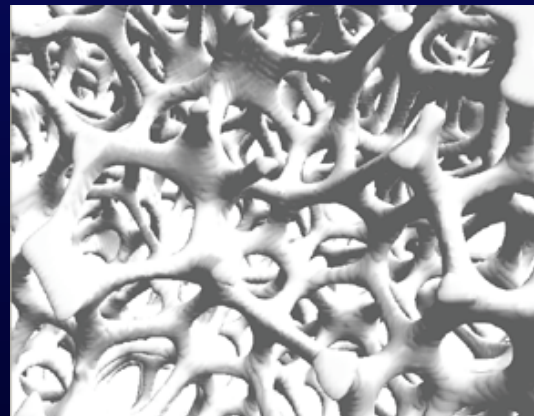
- Multiplicités des paramètres
- Géométriques
- Thermophysiques (conductivité, dispersion, coefficient d'échange)
- Lois d'écoulement (perméabilité, coefficient inertiel)
- Ecoulement polyphasiques (Modèles homogènes, à phases séparées)
- mouillabilité, pression capillaire
- Ebullition (courbe d'ébullition, CHF,...)
- Mécaniques
- Chimiques

Quelques exemples de mousses

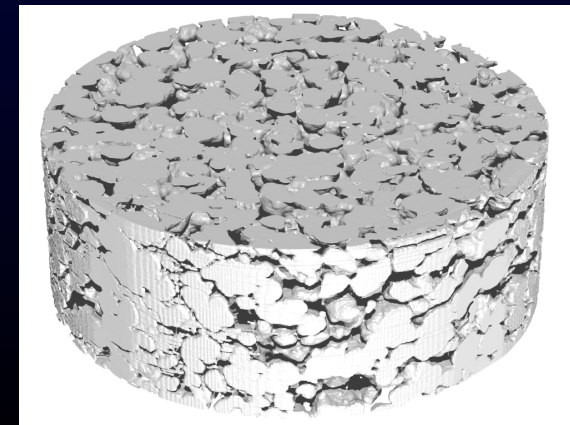
NiCr foams – Recemat
(10,20,30,40,50,100 ppi)



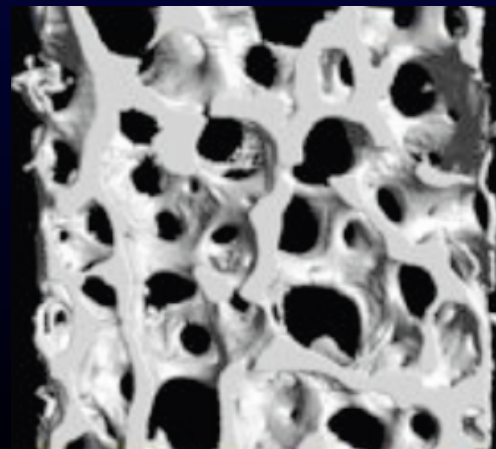
Al foams – ERG (5,10,20 ppi)



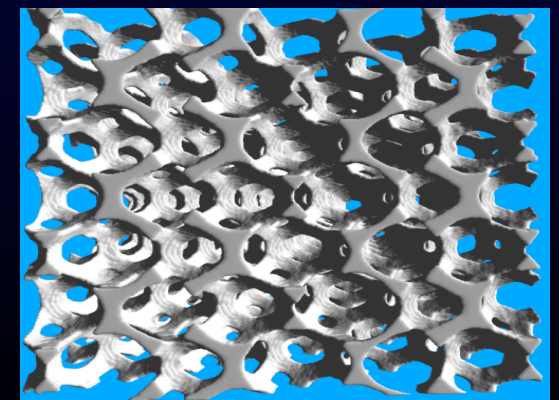
Ceramic foams



Sintered Polyethylene - Porvair

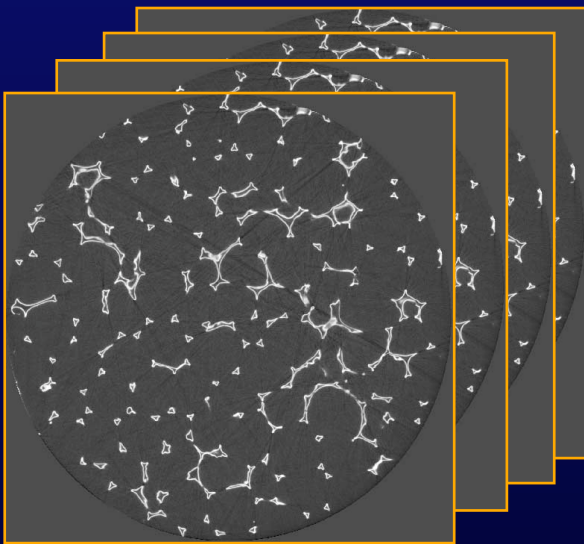


Trabecular bone



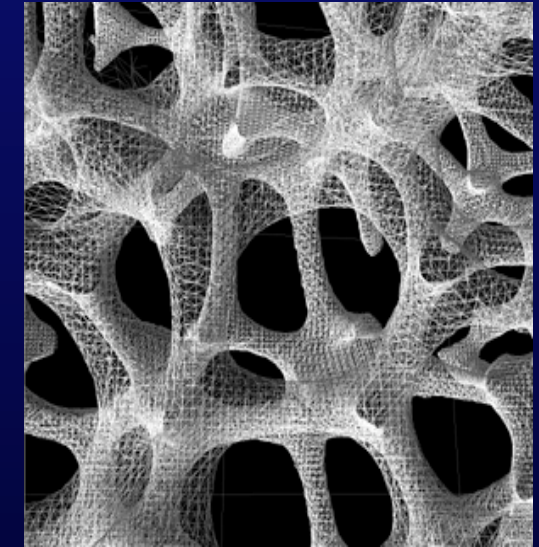
Kelvin cell -CTIF

iMorph : Fonctionnalités

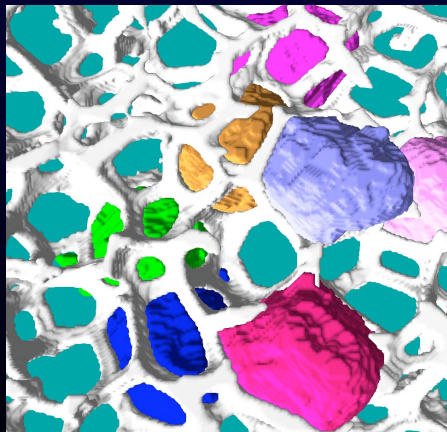


Segmentation des phases:
solide/ fluide
Reconstruction 3D
Tesselation de l' interface

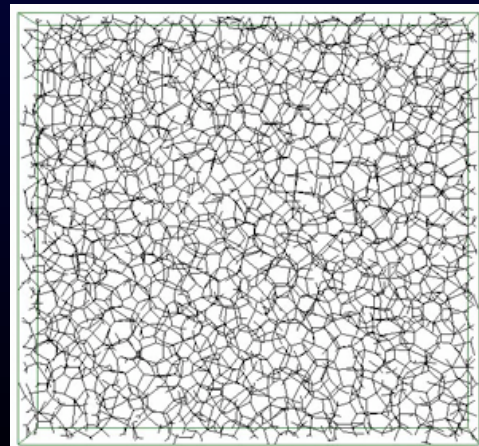
Visualisation
Porosité
Surface spécifique
Exportation vers les codes CFD



Extraction des éléments structurants
Cellules

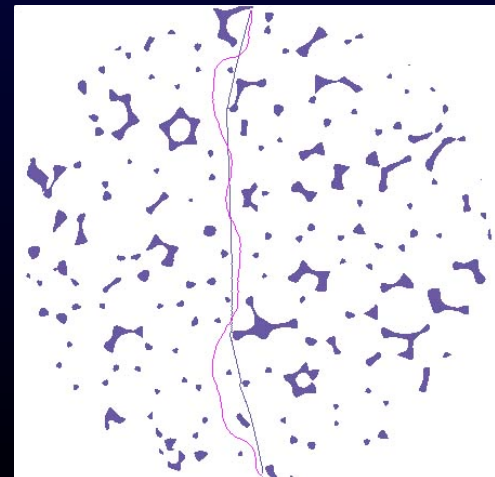


Porosimétrie
Forme des pores
Orientations



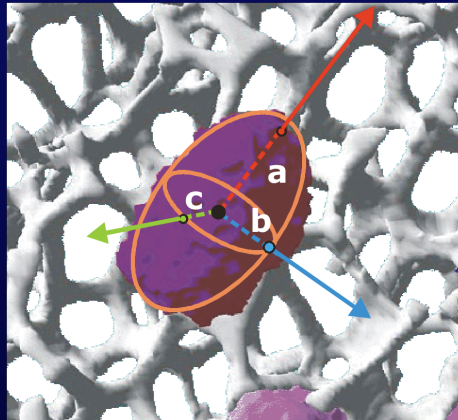
Orientations
Connectivité
Longueurs

Calculs Géodésiques

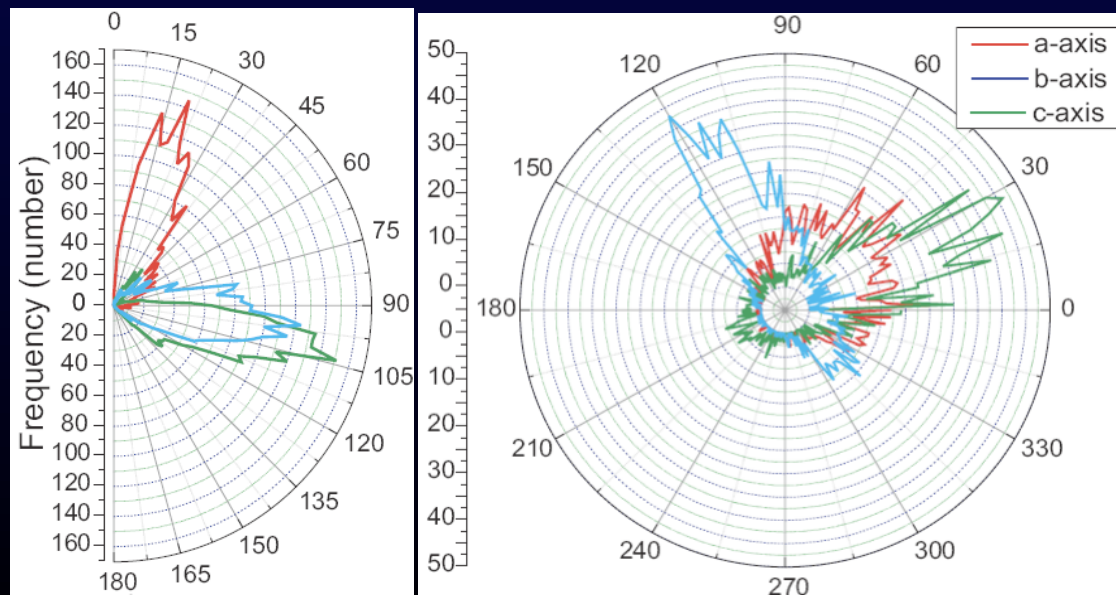


Plus courts chemins
Tortuosité

Forme et orientation des cellules



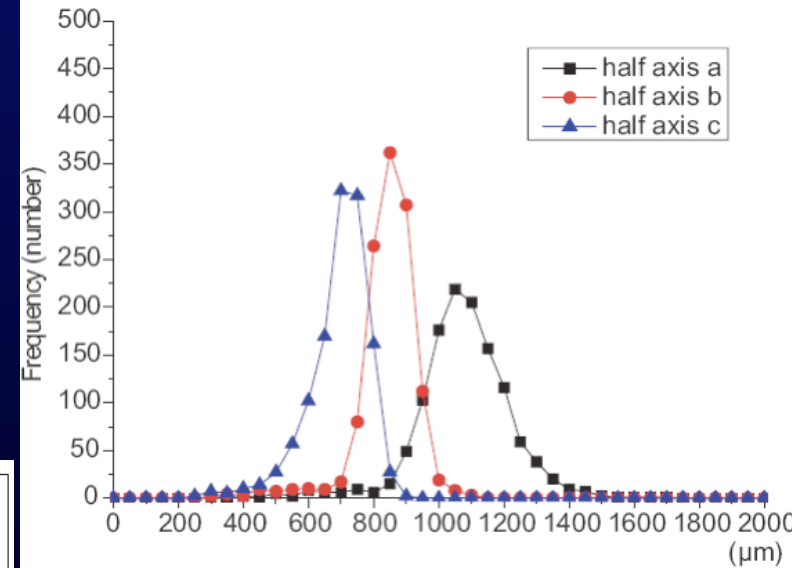
Mesure des ellipsoïdes équivalents
(Matrice d' inertie du nuage de voxels)



Elevation

Azimuth

Distribution des longueurs de demi-axes



Cellules orientés de manière identique dans l' espace

Organisation →
Anisotropie de l' espace poral

Classification locale de formes

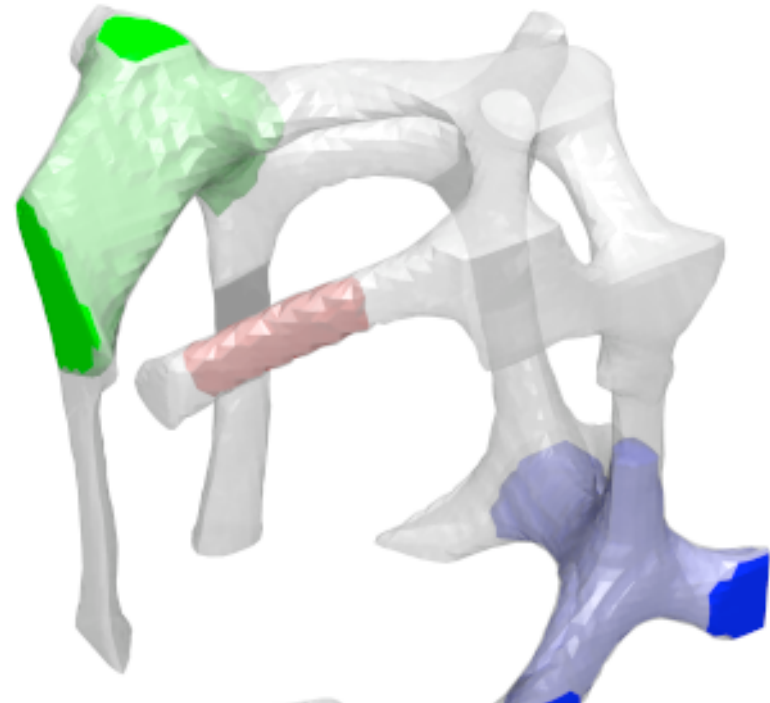
Classification locale de formes

Classification locale de formes

Classification locale de formes

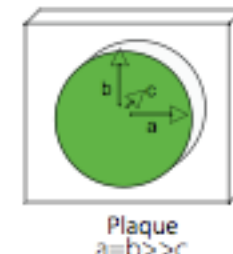
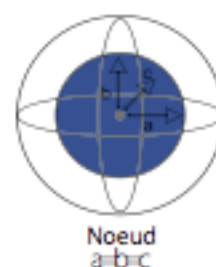
Analyse classique

- Dans la littérature le point de départ est l'obtention de squelettes
- Squelette filaire pas toujours représentatif (pyramide, plaque)



Identification des formes locales

- Identifier les voxels connexes à une certaine distance géodésique (Fast Marching)
- Matrice d'inertie du nuage de voxel obtenu
- Classification en objets élémentaires grâce aux moments d'inertie



En Bref

- Cells present ellipsoid shape
- Cells organization induces anisotropy
- Geometrical tortuosity depends on orientation and organisation
- Foams are homothetic

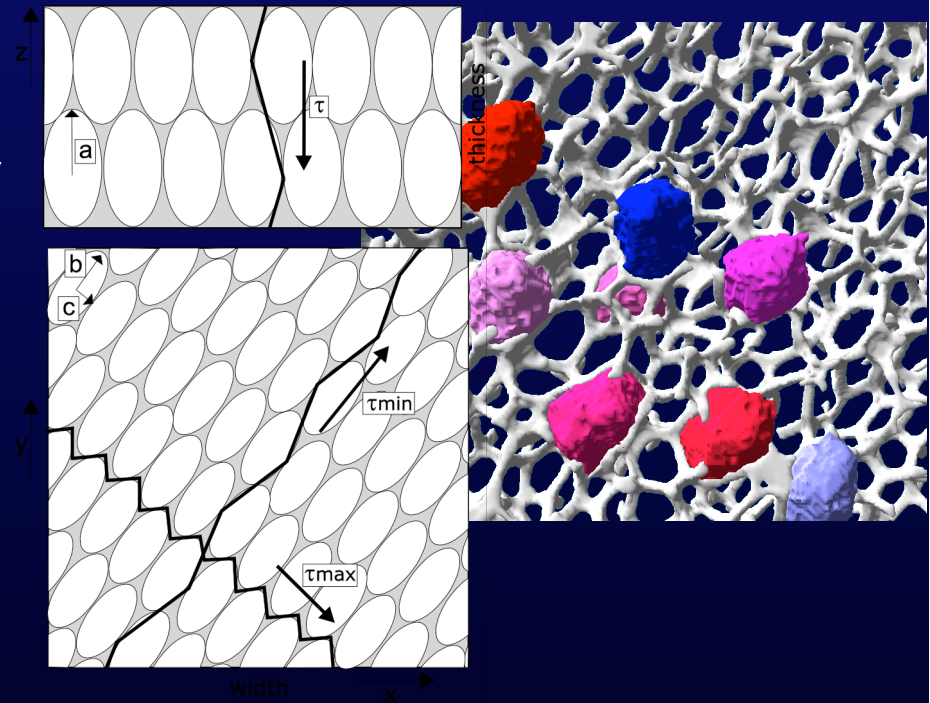


TABLE 1. Presentation of geometrical parameters

| Samples | ϵ | Sp.Surface (m ² /m ³) | d_s (mm) | d_l (mm) | d_p^* (mm) |
|---------|------------|---|------------|------------|-----------------|
| 1 | 0.825 | 370.9 | 1.9 | 3.6 | 8.7 |
| 2 | 0.84 | 357.4 | 1.9 | 3.6 | 8.7 |
| 3 | 0.845 | 263.9 | 2.5 | 5.0 | 12.4 |
| 4 | 0.85 | 252.2 | 2.5 | 5.0 | 12.7 |

d_p^* - calculated for equivalent included spherical diameter

Structural dependencies

$$Sp = 3/dPore$$

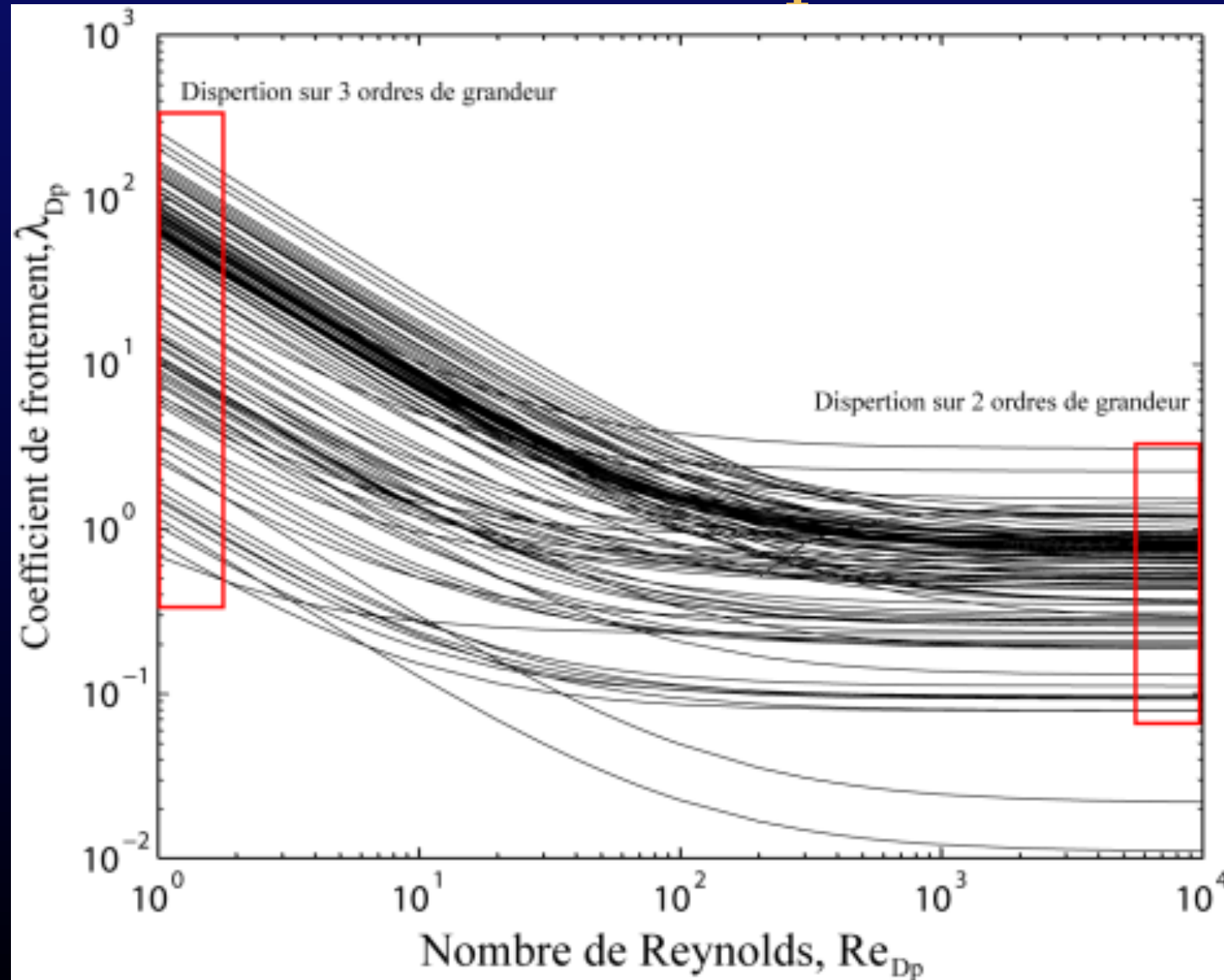
$$dThroat = 0.52 \text{ dPore}$$

$$\text{Strut length} = 0.4 \text{ dPore}$$

What is known ?

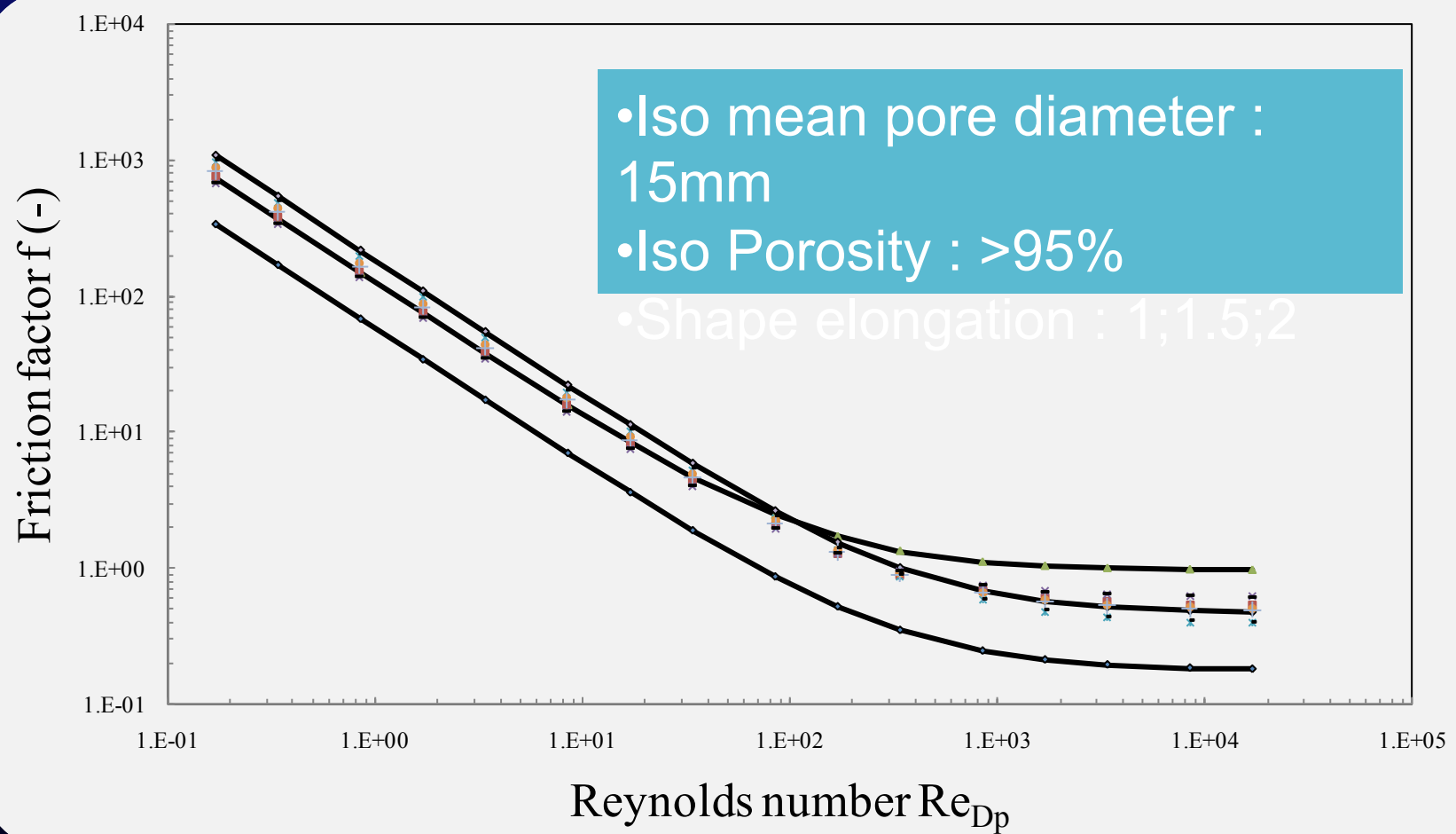
- Effective conductivity λ depends on porosity e and on tortuosity t
- λ independent from D_p
→ Pore shape depend on pore size
- Permeability K and Inertia coefficient b depend on D_p :
 $K \sim D_p^{-2}$ & $b \sim D_p^{-1}$
- And other parameters ...

Problematique écoulement



Dispersion des résultats

22 mars 20



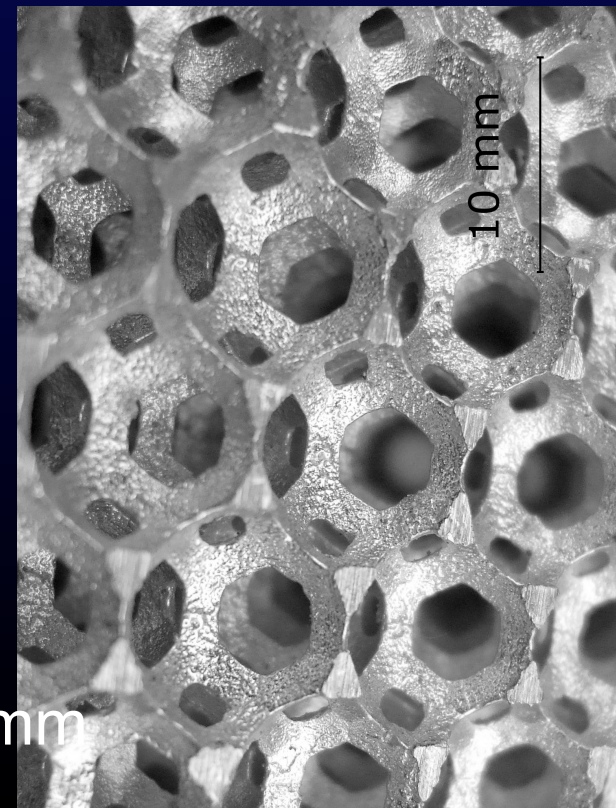
- Ergun like approach not adapted to describe flow law in foam

- ➔ Develop a model more accurate for foam
- ➔ Study influence of pore shape on properties

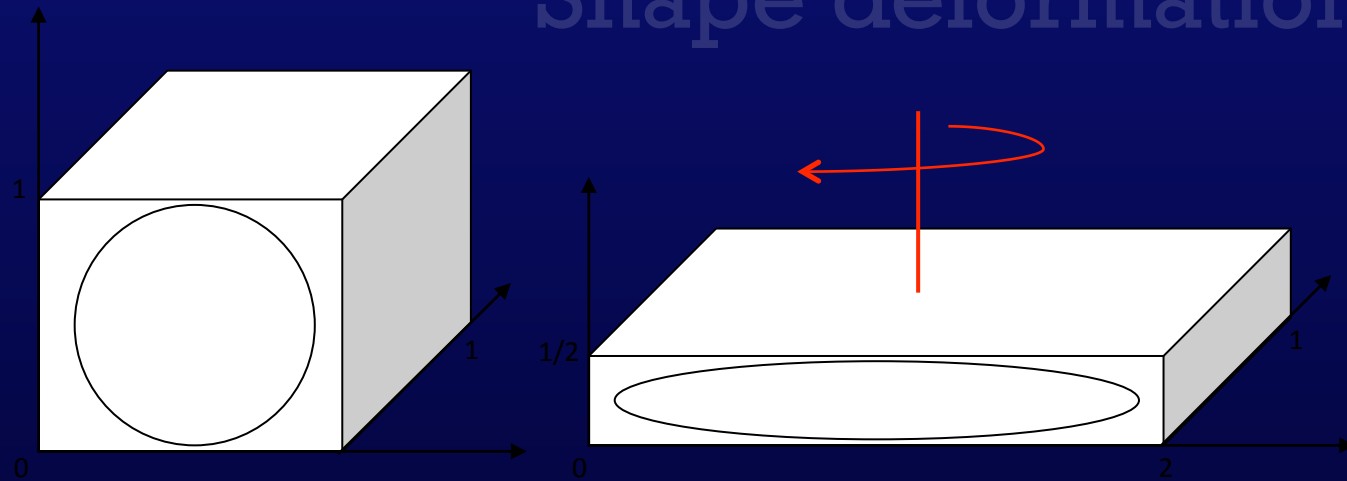
Kelvin's cell

- Tetrakaleidon (14 faces)
- One of models that well describe metal foams
- Widely used
- Casted samples are available and characterized
- Periodic structure
- Isotropic material
- Both CAD and Tomography available

$e=87\%$
 $D_p=14.2\text{mm}$
...



Shape deformation constraints



Stretching and shearing

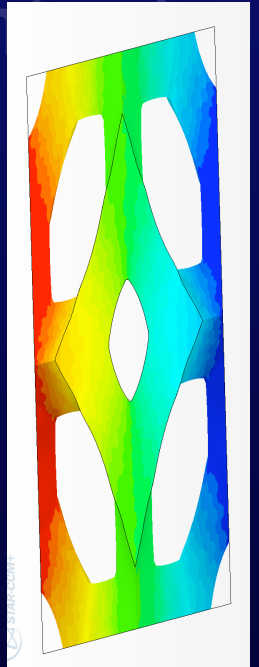
Scaling factor a in x direction ; $1/\sqrt{a}$ in Y and Z direction

Rotation around Z axis

$0.4 < a < 4.0$ and $0 < q < 45^\circ$

20x45 Virtual samples produced

Porosity, pore equivalent volume sphere diameter are conserved



Pore scale numerical simulation

- Mesh size : Polyhedral cell core + prism layers near the solid matrix surface

- About 400.000 cells

- Fluid phase conductivity is equal to 10W/mK , 100W/mK for solid phase

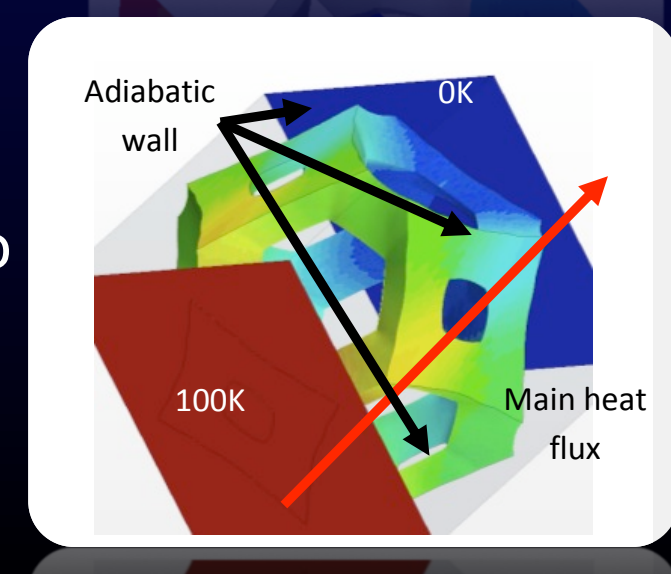
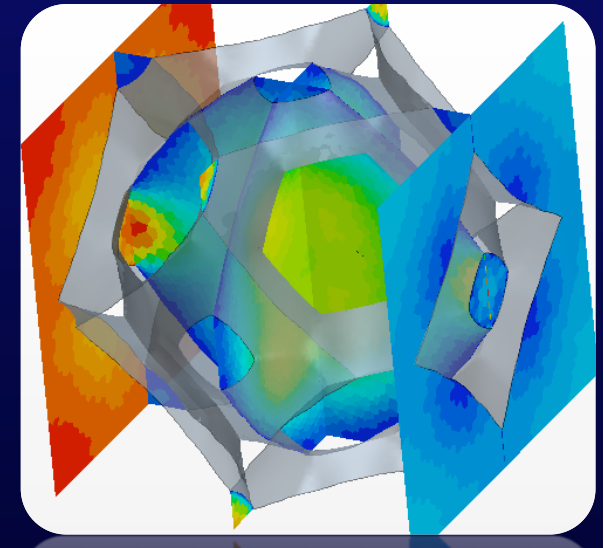
- Navier-Stokes and energy balance equations are solved in steady condition

- Boundary conditions :

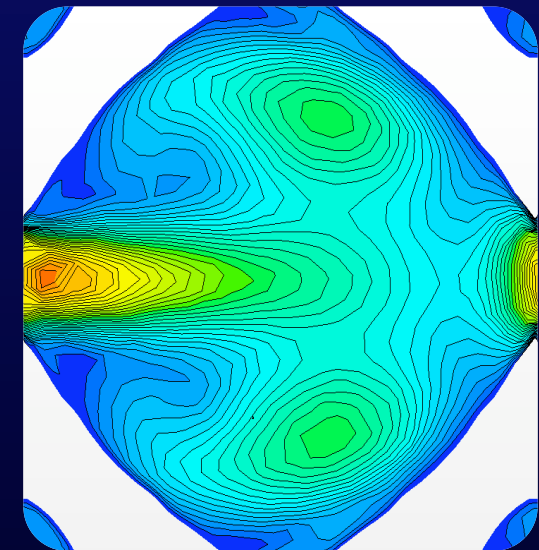
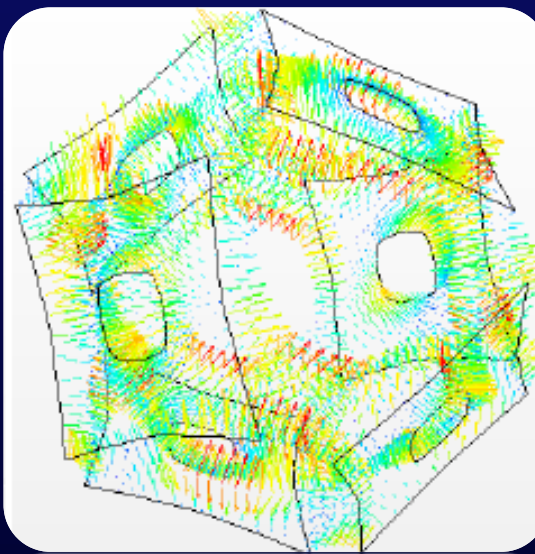
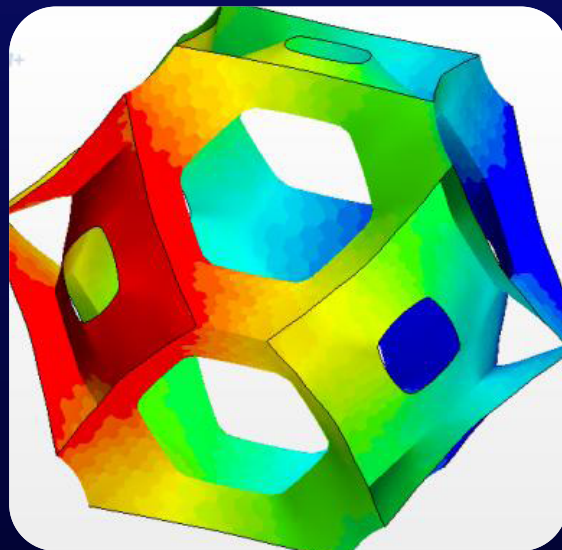
- permeameter conditions (flux in one direction, no flux on other face):

- Temperature difference imposed on two opposite faces, adiabatic on other face

- Pressure difference imposed on two opposite faces, slip condition on other faces



Volume averaging technique



$$\vec{\varphi} = \overline{\overline{K_{eff}}}. \nabla < T >$$

Similar correlation for
Darcy's law

$$\nabla < T_x > = \frac{1}{V} \int_V \cdot \overline{\nabla T(x)} \cdot \vec{n}_x \cdot dV$$

Simplification
on

$$\nabla T_x = \frac{1}{V} \int_S T(x) \cdot \vec{i} \cdot \vec{n}_x \cdot dS = \frac{\Delta < T_x >}{\Delta x}$$

$$\varphi_x = \frac{1}{V} \int_S x \cdot \overline{\varphi(x)} \cdot \vec{n}_x \cdot dS = \frac{P_x}{S_x}$$

Full tensors determination

- Samples are anisotropic → thermo-physical parameters are tensors

$$\overline{\overline{K_{\text{eff}}}} = \begin{bmatrix} K_{xx} & K_{xy} & K_{xz} \\ K_{yx} & K_{yy} & K_{yz} \\ K_{zx} & K_{zy} & K_{zz} \end{bmatrix}$$

- Tensors are positive and symmetric : $\begin{bmatrix} \nu^{\Sigma\Sigma} & \nu^{\Sigma\lambda} & \nu^{\Sigma\Sigma} \end{bmatrix}$

- Experiment is repeated in each direction X, Y and Z

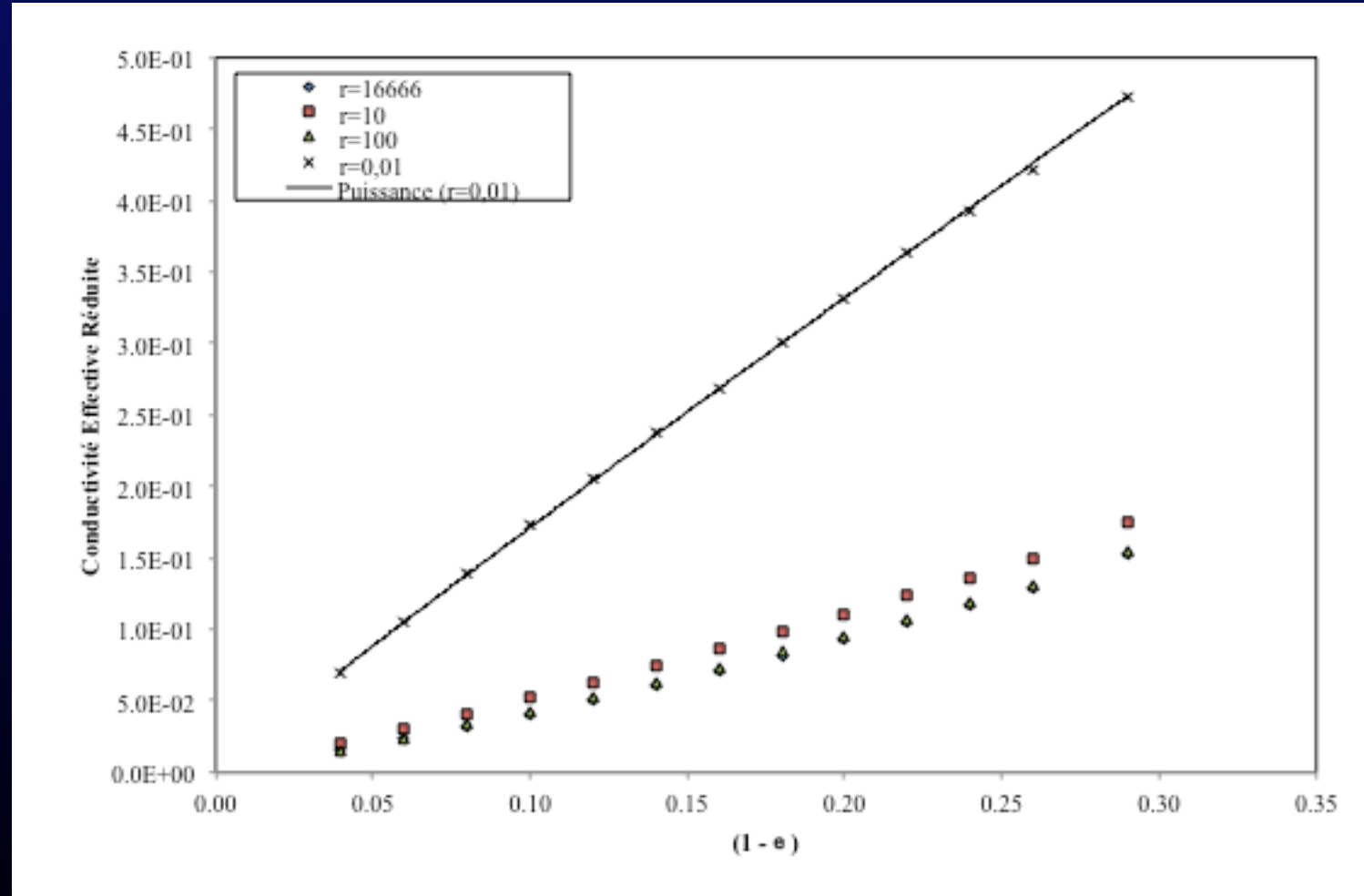
- 9 equations square system by least squares

$$\begin{bmatrix} K_{xx} \\ K_{xy} \\ K_{xz} \\ K_{yx} \\ K_{yy} \\ K_{yz} \\ K_{zx} \\ K_{zy} \\ K_{zz} \end{bmatrix} = \begin{bmatrix} \nabla T_x^1 & \nabla T_y^1 & \nabla T_z^1 & 0 & 0 & 0 & 0 & 0 & 0 \\ 0 & 0 & 0 & \nabla T_x^1 & \nabla T_y^1 & \nabla T_z^1 & 0 & 0 & 0 \\ 0 & 0 & 0 & 0 & 0 & 0 & \nabla T_x^1 & \nabla T_y^1 & \nabla T_z^1 \\ \nabla T_x^2 & \nabla T_y^2 & \nabla T_z^2 & 0 & 0 & 0 & 0 & 0 & 0 \\ 0 & 0 & 0 & \nabla T_x^2 & \nabla T_y^2 & \nabla T_z^2 & 0 & 0 & 0 \\ 0 & 0 & 0 & 0 & 0 & 0 & \nabla T_x^2 & \nabla T_y^2 & \nabla T_z^2 \\ \nabla T_x^3 & \nabla T_y^3 & \nabla T_z^3 & 0 & 0 & 0 & 0 & 0 & 0 \\ 0 & 0 & 0 & \nabla T_x^3 & \nabla T_y^3 & \nabla T_z^3 & 0 & 0 & 0 \\ 0 & 0 & 0 & 0 & 0 & 0 & \nabla T_x^3 & \nabla T_y^3 & \nabla T_z^3 \end{bmatrix}^{-1} \begin{bmatrix} \varphi_x^1 \\ \varphi_y^1 \\ \varphi_z^1 \\ \varphi_x^2 \\ \varphi_y^2 \\ \varphi_z^2 \\ \varphi_x^3 \\ \varphi_y^3 \\ \varphi_z^3 \end{bmatrix}$$

$$\begin{bmatrix} K^{\Sigma\Sigma} \\ K^{\Sigma\lambda} \\ K^{\lambda\lambda} \end{bmatrix} = \begin{bmatrix} 0 & 0 & 0 & 0 & 0 & 0 & \Delta L_x^x & \Delta L_y^y & \Delta L_z^z \end{bmatrix} \begin{bmatrix} \phi_3^1 \\ \phi_3^2 \\ \phi_3^3 \end{bmatrix}$$

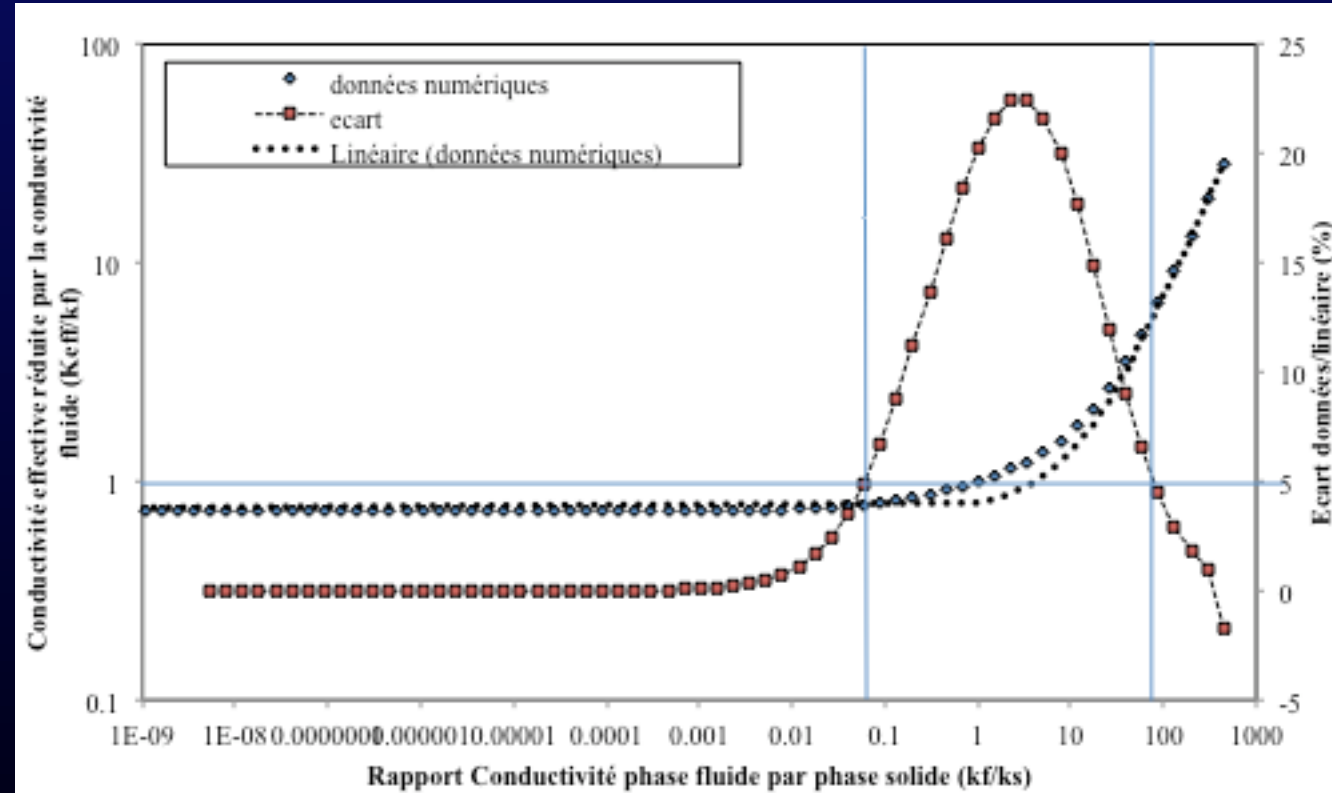
Results

Conductivité effective réduites des cellules de Kelvin en fonction de la porosité



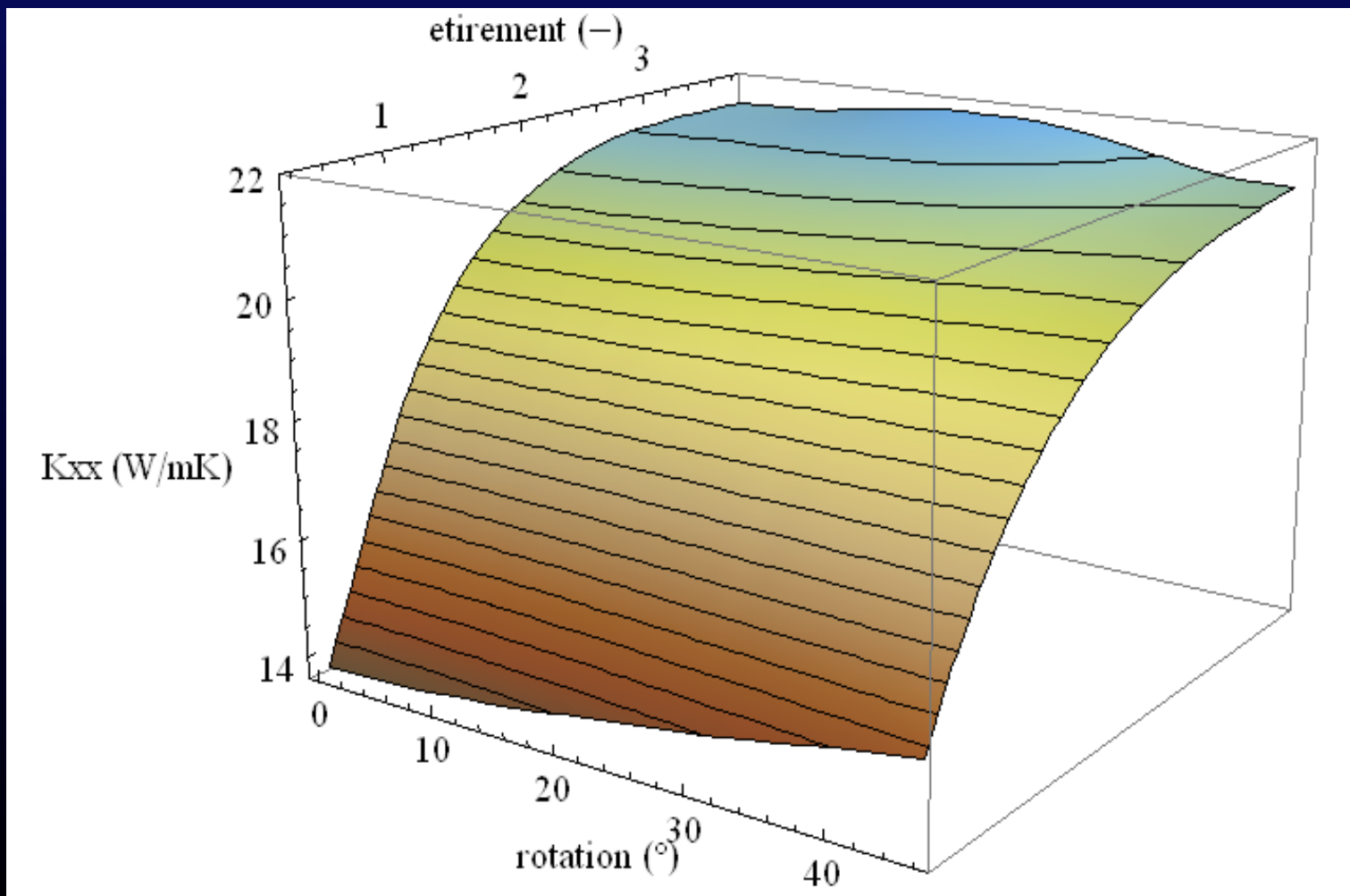
pour 4 rapports de conductivité fluide/solide r

Effet du rapport de conductivité

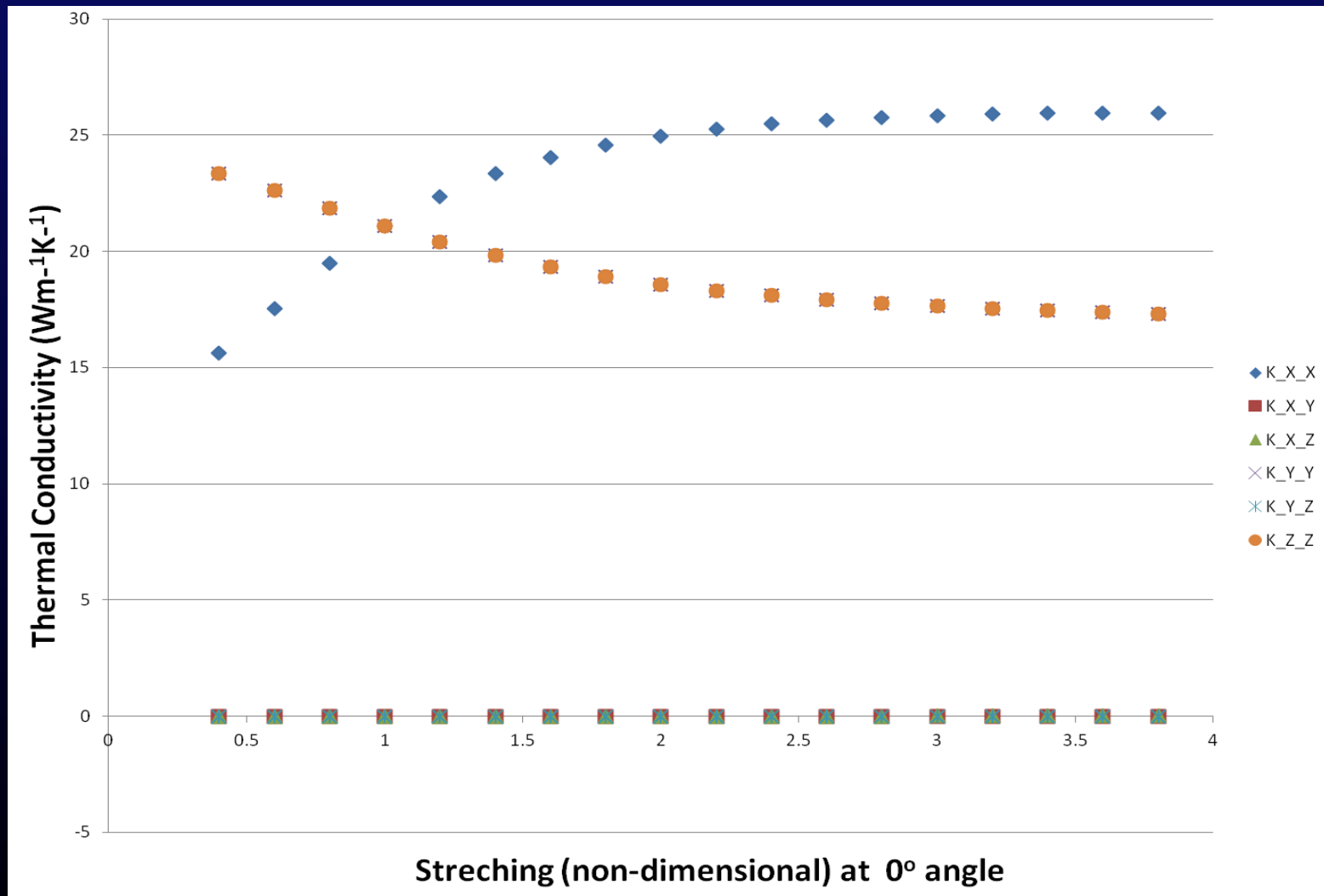


$$\lambda_e \neq \lambda_{\text{eff}}^s + \lambda_{\text{eff}}^f$$

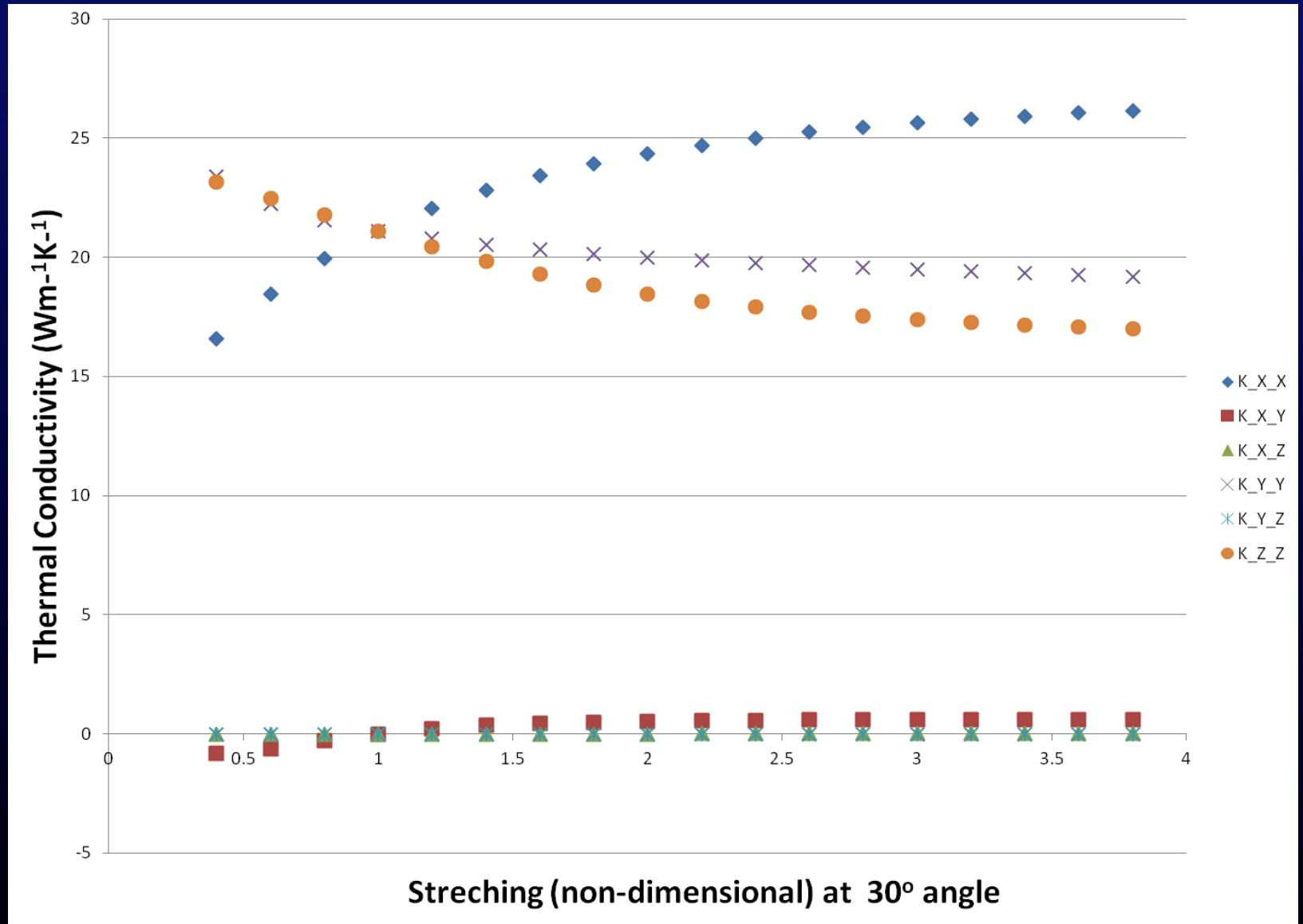
Composante K_{xx}



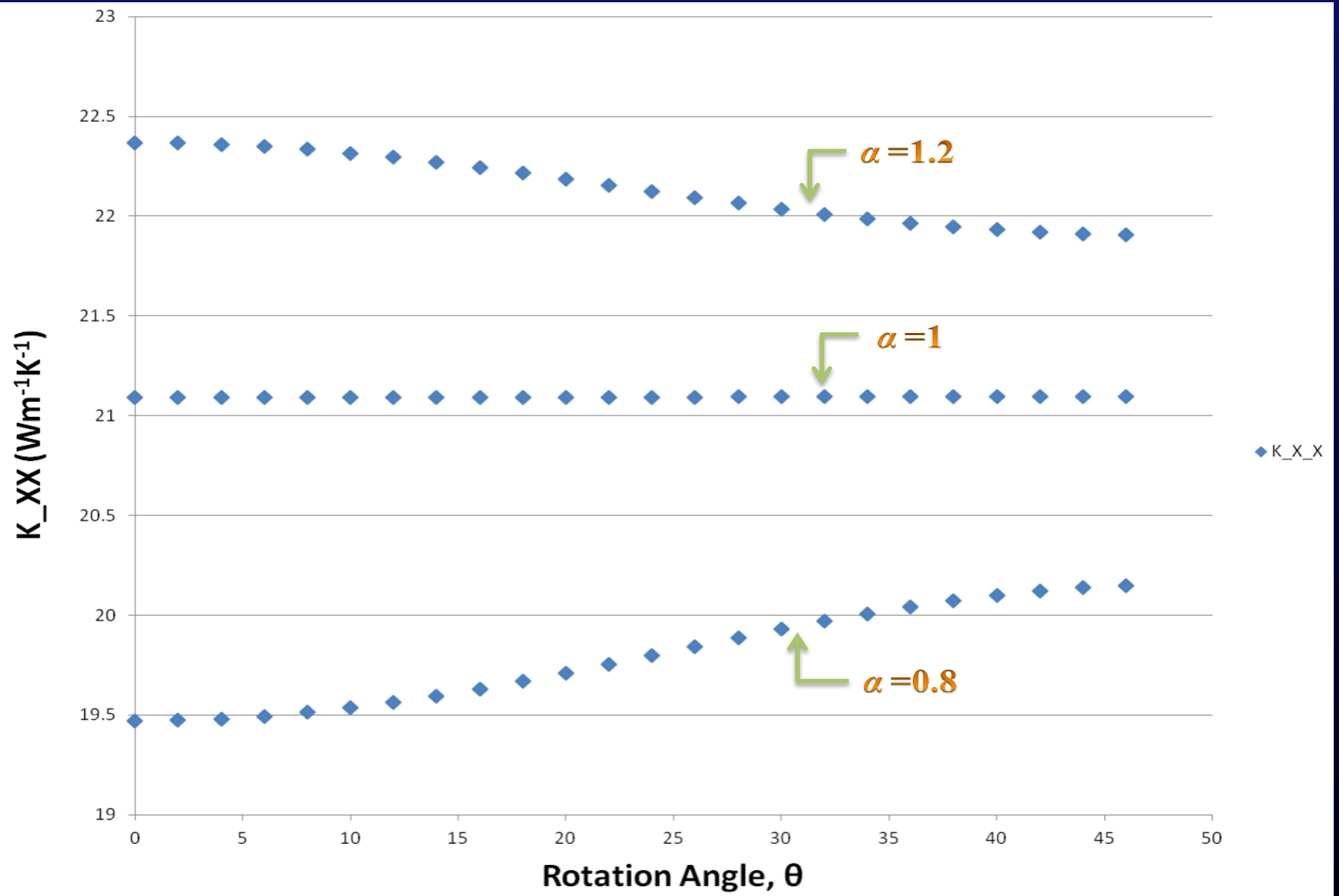
Results on Effective Thermal Conductivity



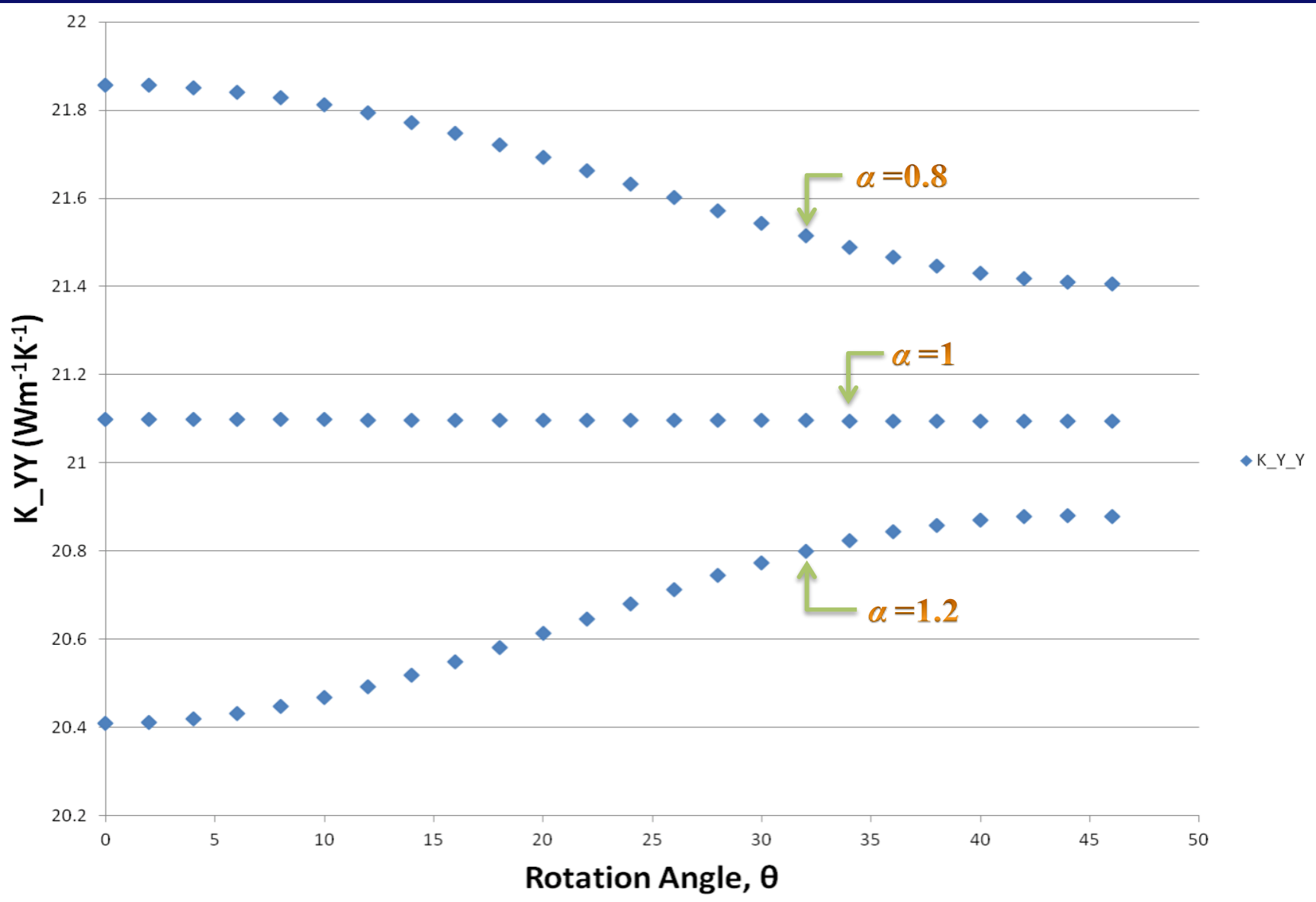
Thermal conductivity plot at 0° angle for various α for 80% porosity



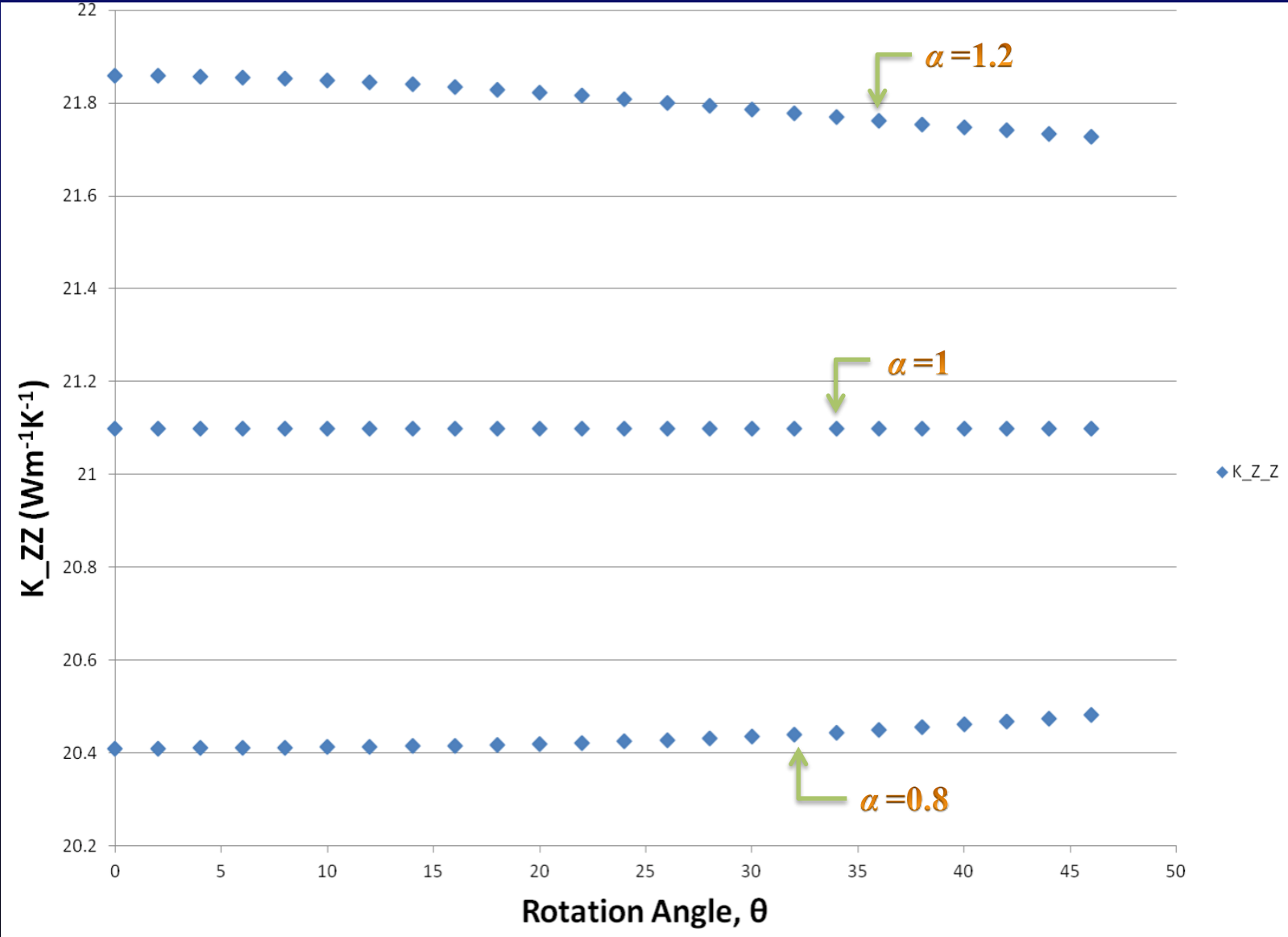
Thermal conductivity plot at 30° angle for various elongations for 80% porosity



Effect of elongation ratio, α on K_{XX} with rotation angle for 80% porosity



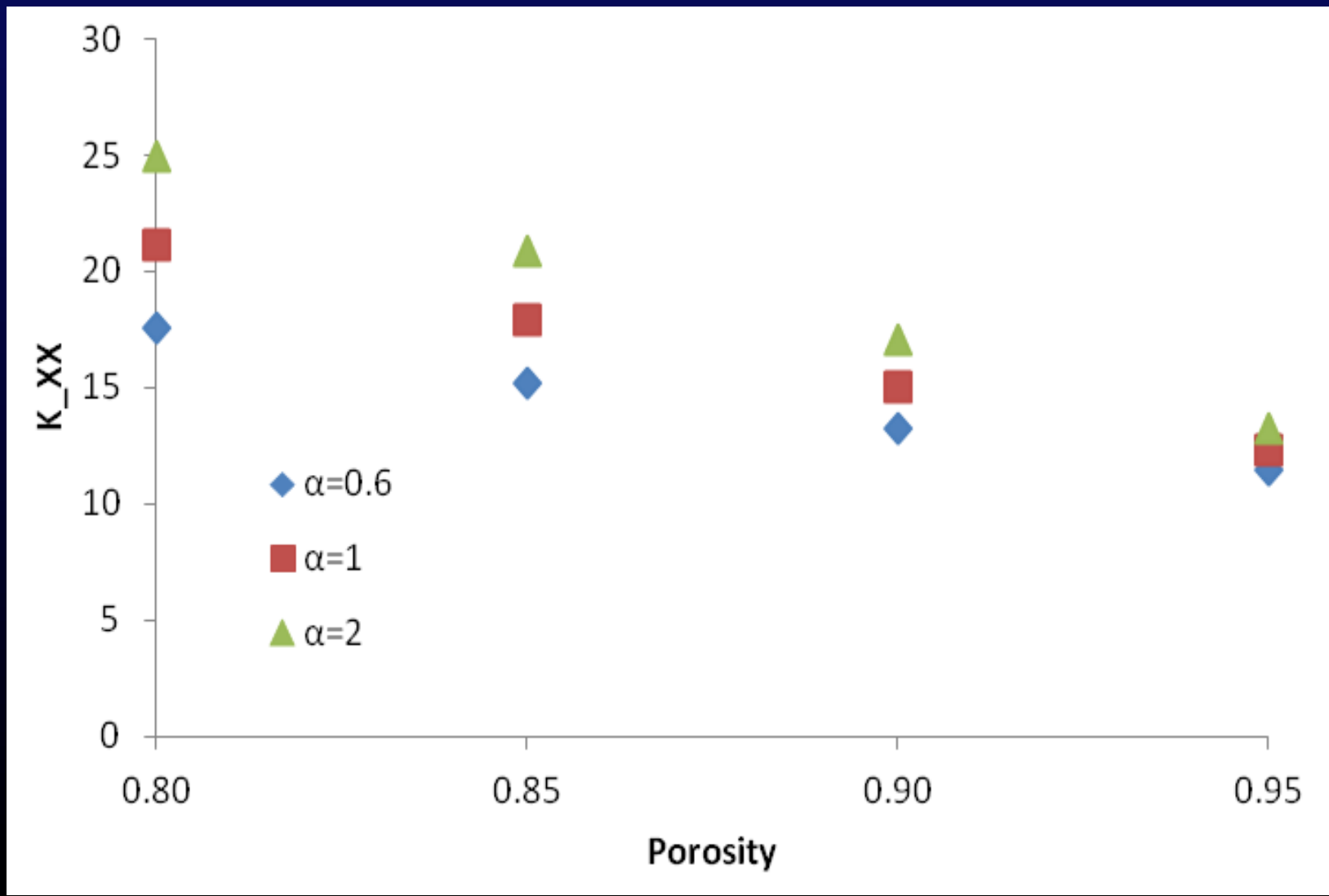
Effect of elongation ratio, α on K_{YY} with rotation angle for 80% porosity



Effect of elongation ratio, α on K_{ZZ} with rotation angle for 80% porosity

Influence of porosity

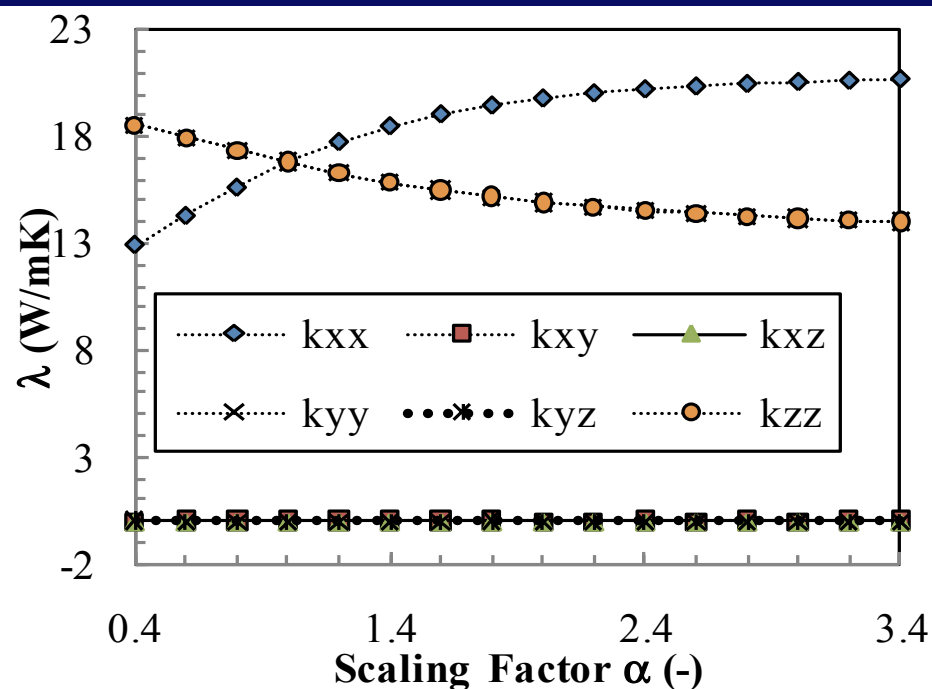
- Comparisons are made at no-rotation



Pore Elongation

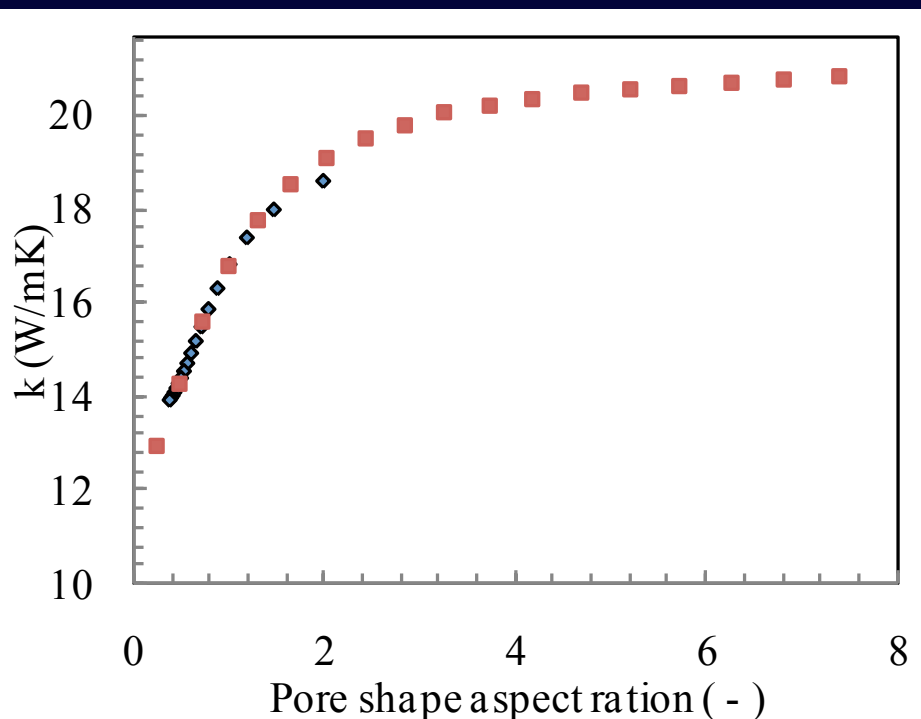
For $q = 0^\circ$

Increasing scaling
factor X
direction :
→ increase
conductivity in X

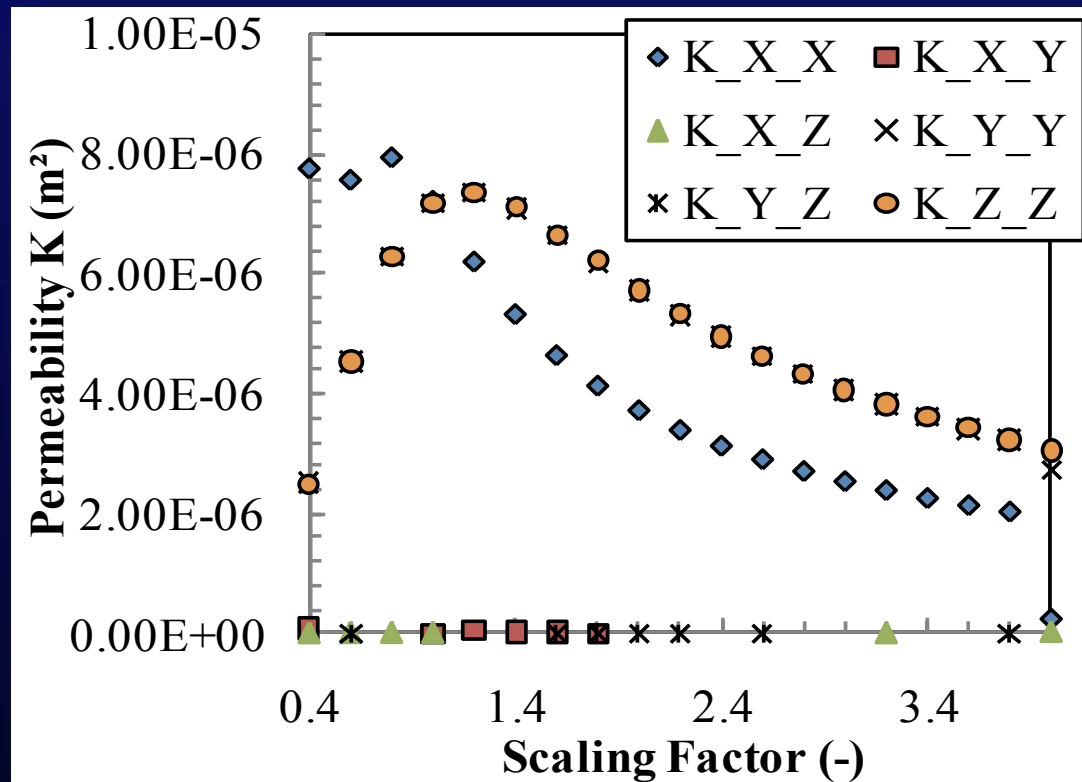


Effective conductivity
followed pore shape aspect
ratio and thus tortuosity

$$\text{Aspect Ratio}_i = \frac{\text{Scale}_i}{\sqrt{\text{Scale}_j \text{Scale}_k}}$$



Permeability



For $q = 0^\circ$

Increasing scaling
factor X
direction :

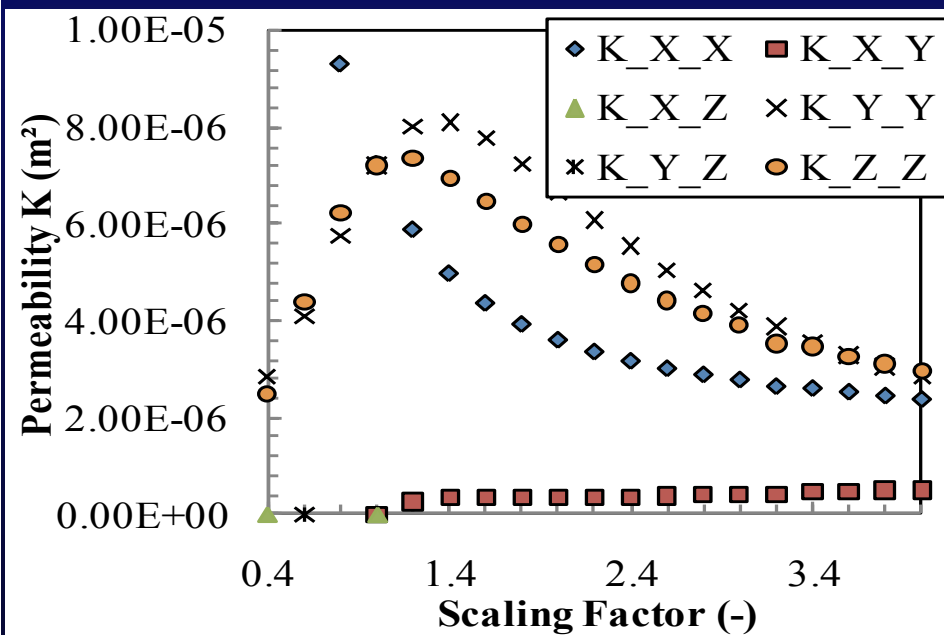
→ decrease
permeability in X
direction

→ increases
conductivity in Y and
Z direction

Permeability in X direction follows pore hydraulic diameter

$$D_{h_x} = \frac{2 \text{ Scale } Y \text{ Scale } Z}{\text{Scale } Y + \text{Scale } Z}$$

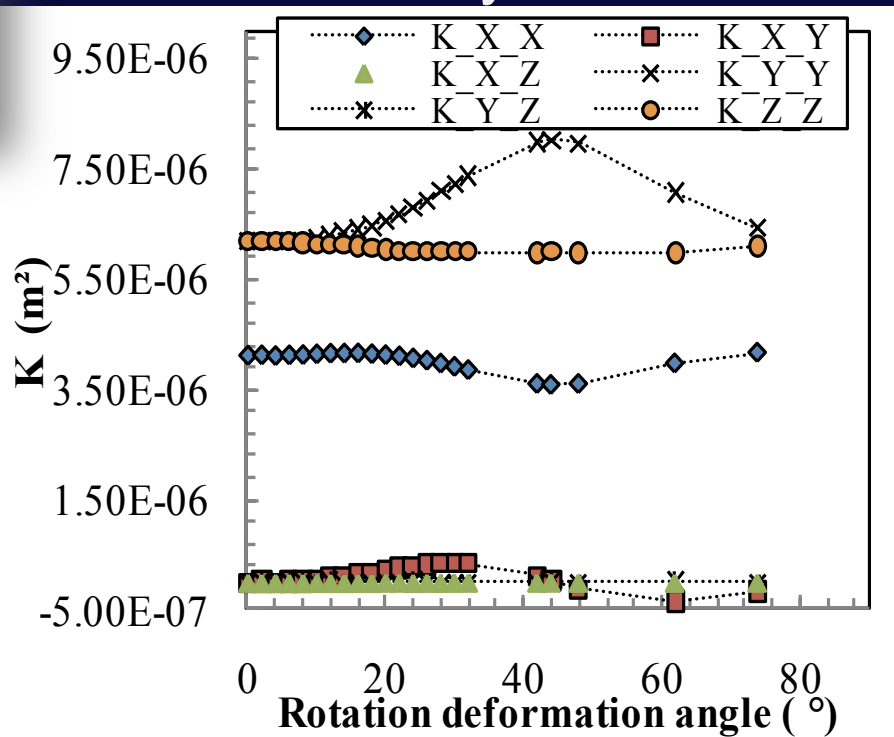
Permeability



For $q = 40^\circ$

Behavior is completely changed

→ Permeability is on Y is

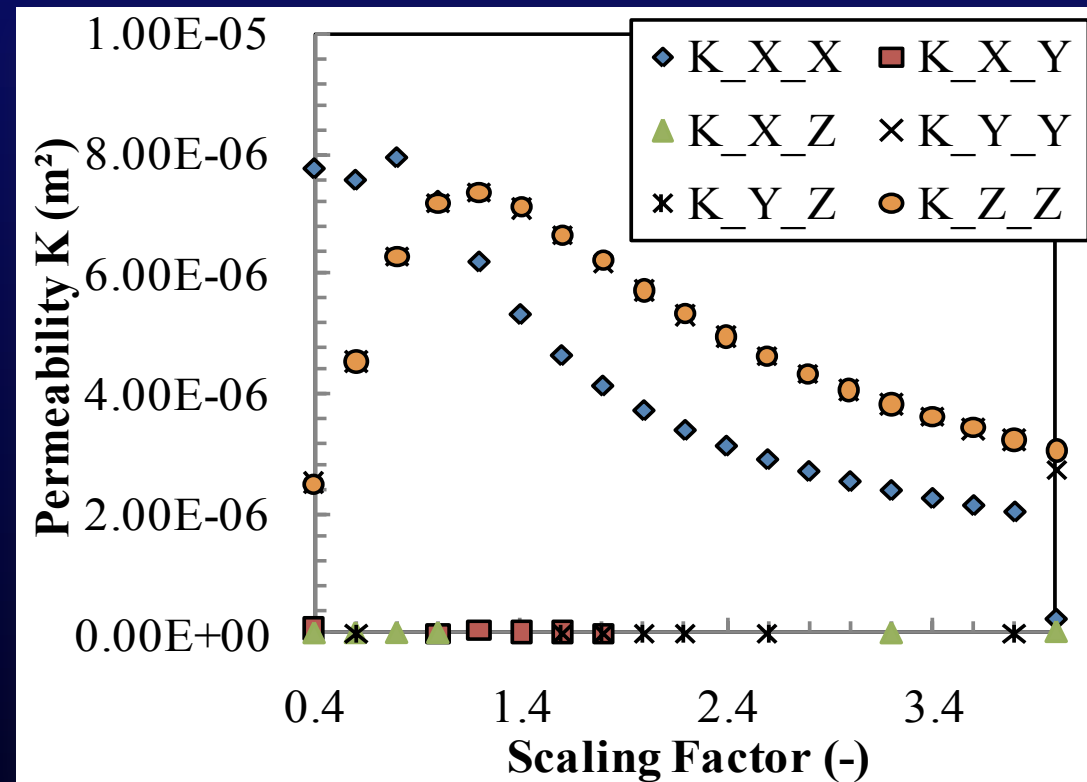


For $a = 1.8$

→ 45° is geometric symmetry plane

→ Non diagonal term appears

Permeability



Permeability in X direction followed pore shape
hydraulic diameter

$$D_{h_x} = \frac{2 \text{ Scale } Y \text{ Scale } Z}{\text{Scale } Y \text{ Scale } Z}$$

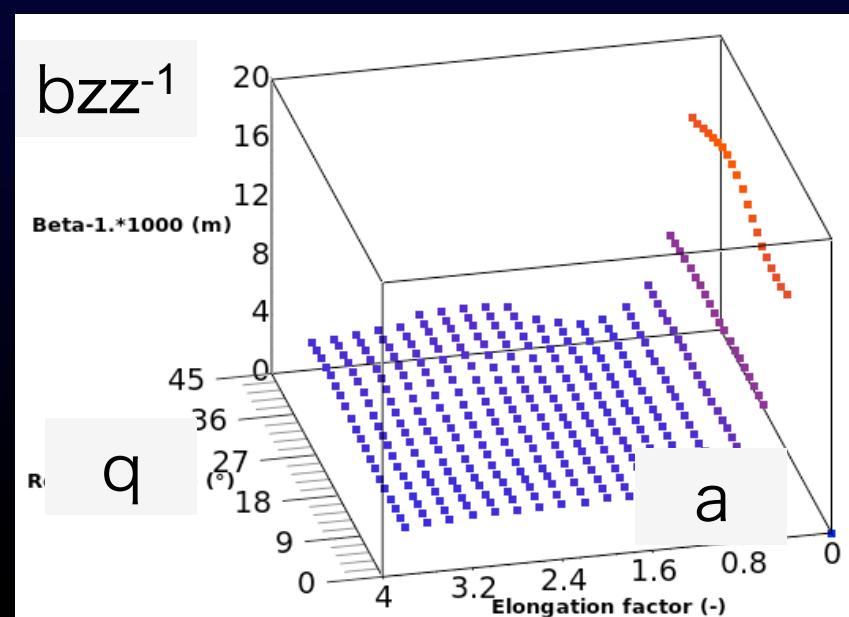
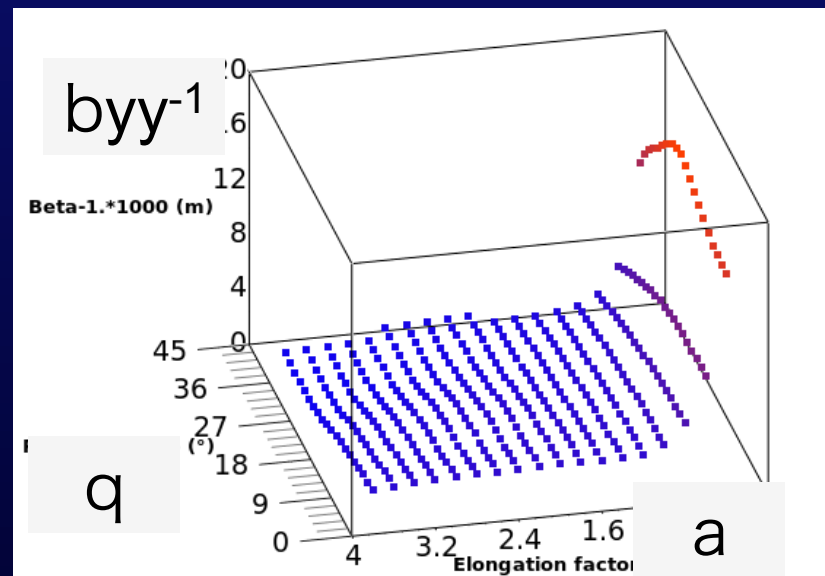
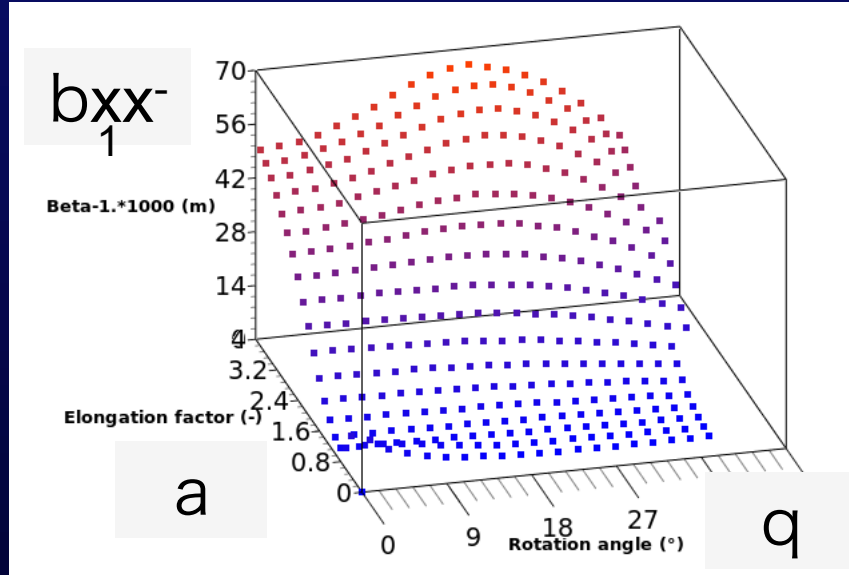
For $q = 0^\circ$

Increasing scaling
factor X
direction :

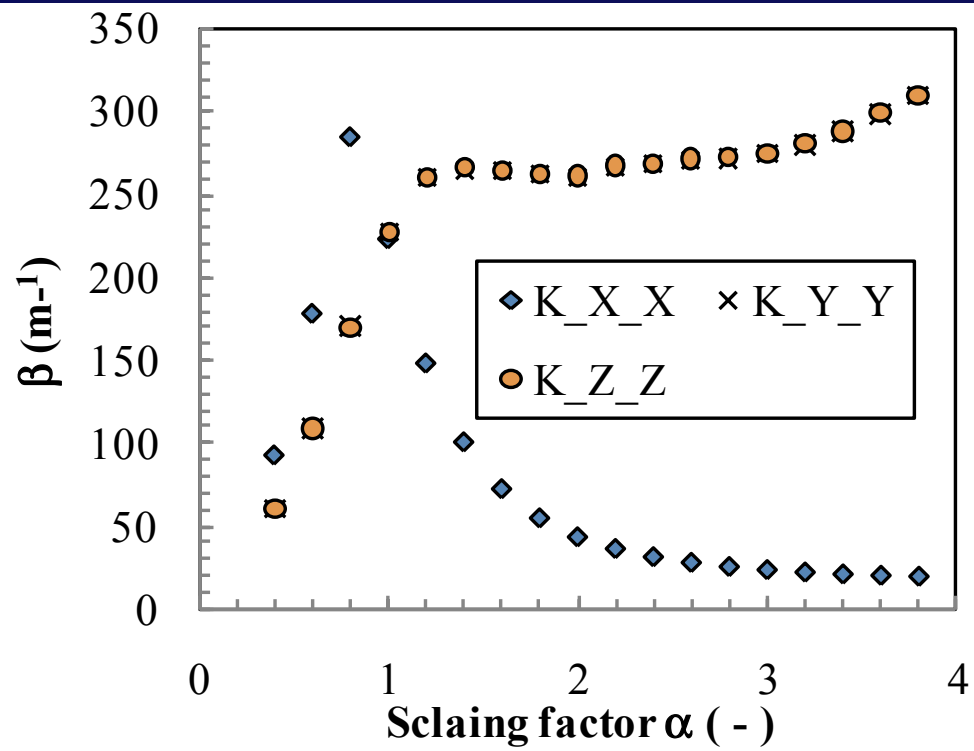
→ decrease
permeability in X
direction

→ increases
conductivity in Y and
Z direction

Inertia Coefficient

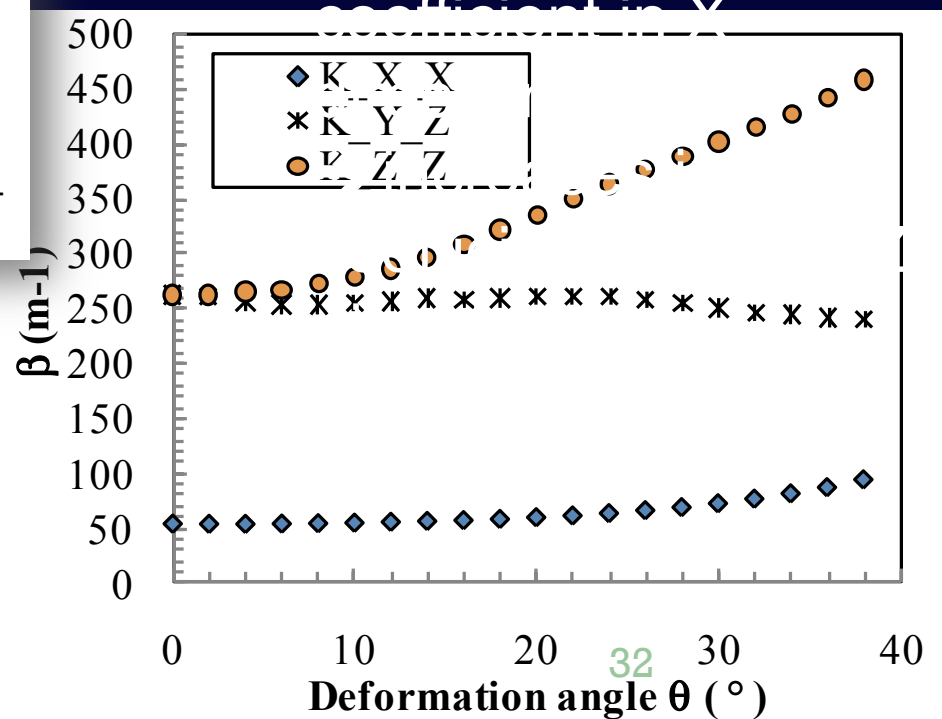


Inertia Coefficient



For $q = 0^\circ$

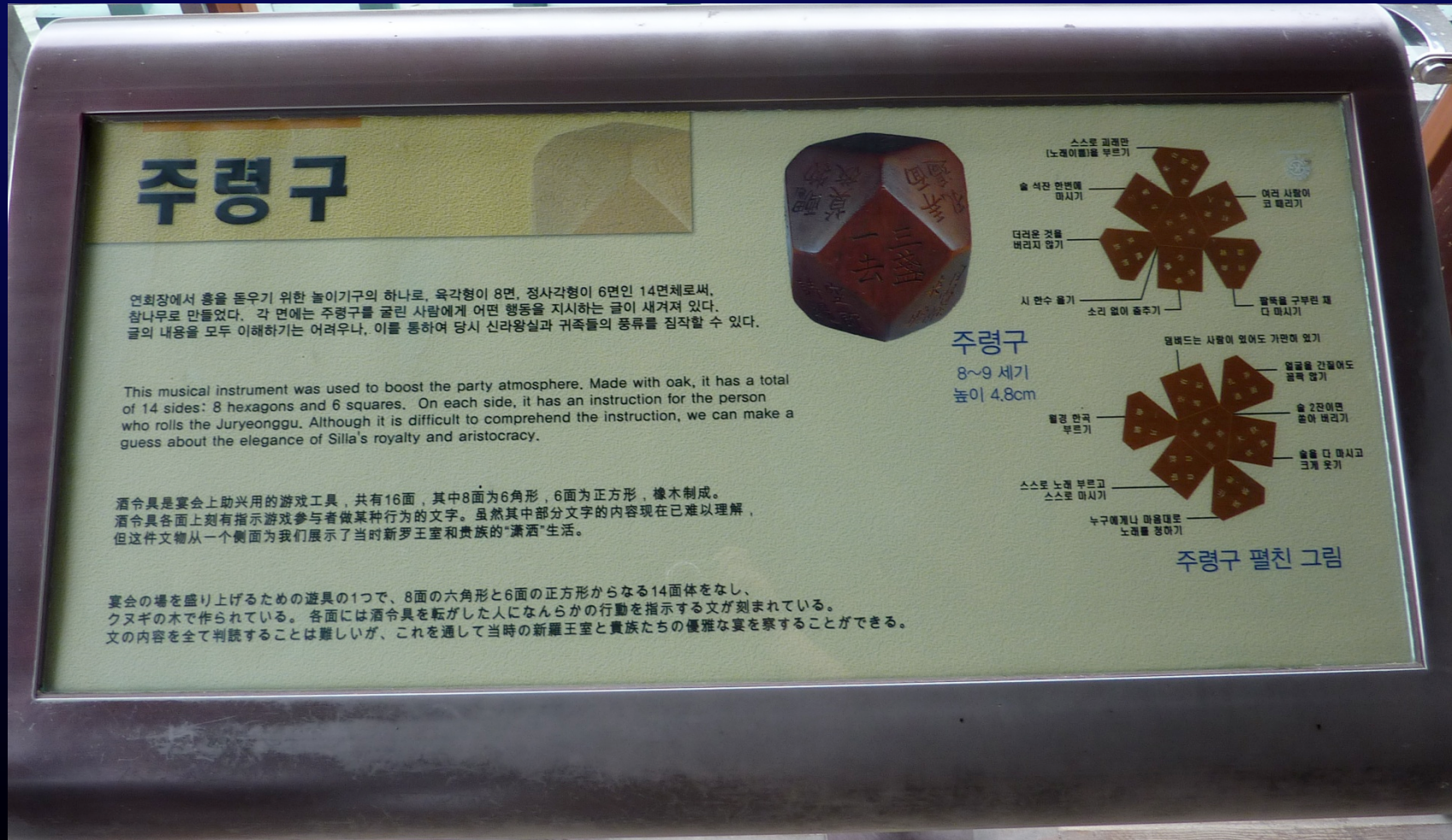
Increasing scaling
factor X
direction :
→ decrease inertia



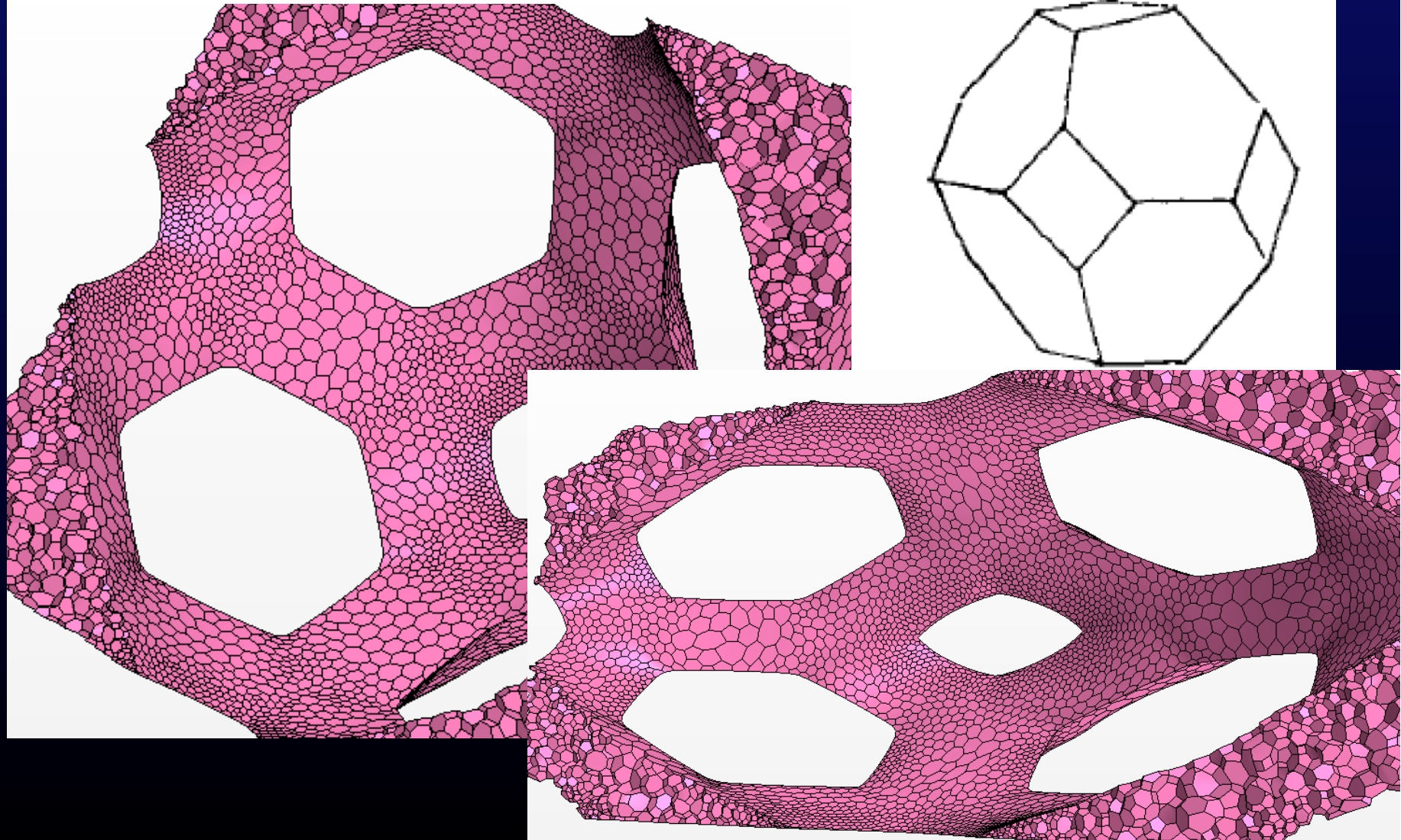
Conclusion

- Propriétés de transports dépendent de la forme
- pour chaque type d'objet il existe des correlations
- compréhension des relations encore insuffisante
- dispersion des résultats
- multiplicité des paramètres

Thank You For Your Attention !



La cellule unitaire



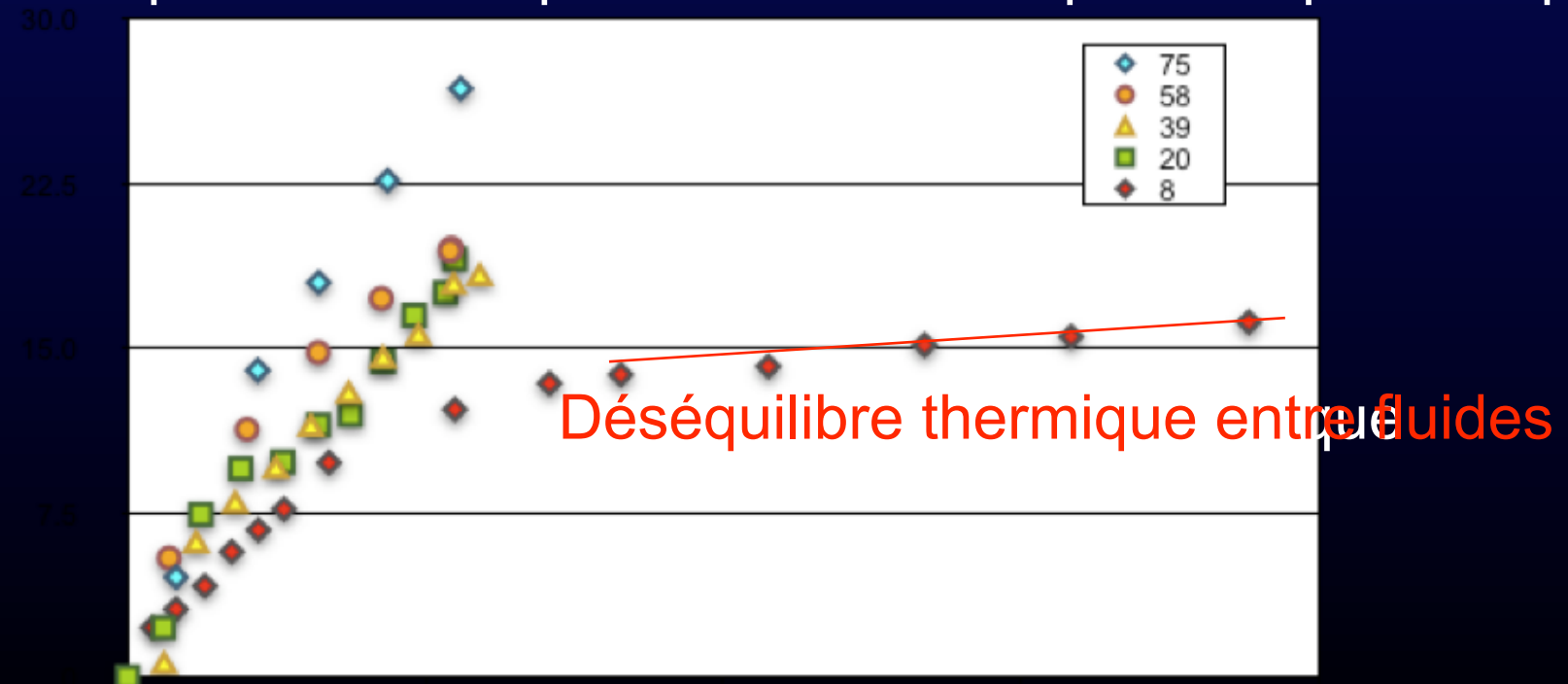
Courbe d'ébullition

Apparition de l' ébullition pour des surchauffes très faibles

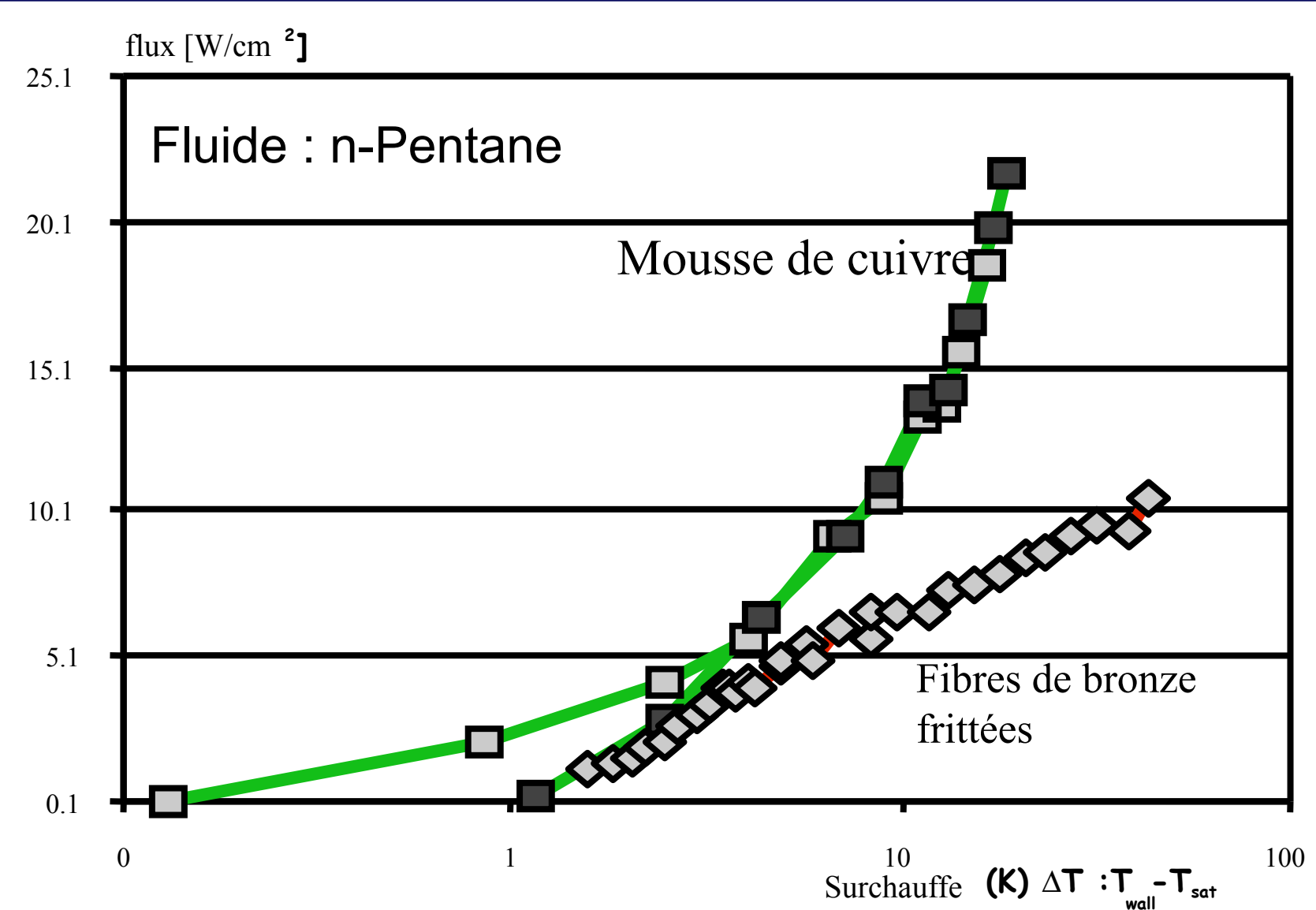
Flux critique très important

$$G > 10 \text{ kgm}^{-2}\text{s}^{-1}, Q_c > 30 \text{ W cm}^{-2}$$

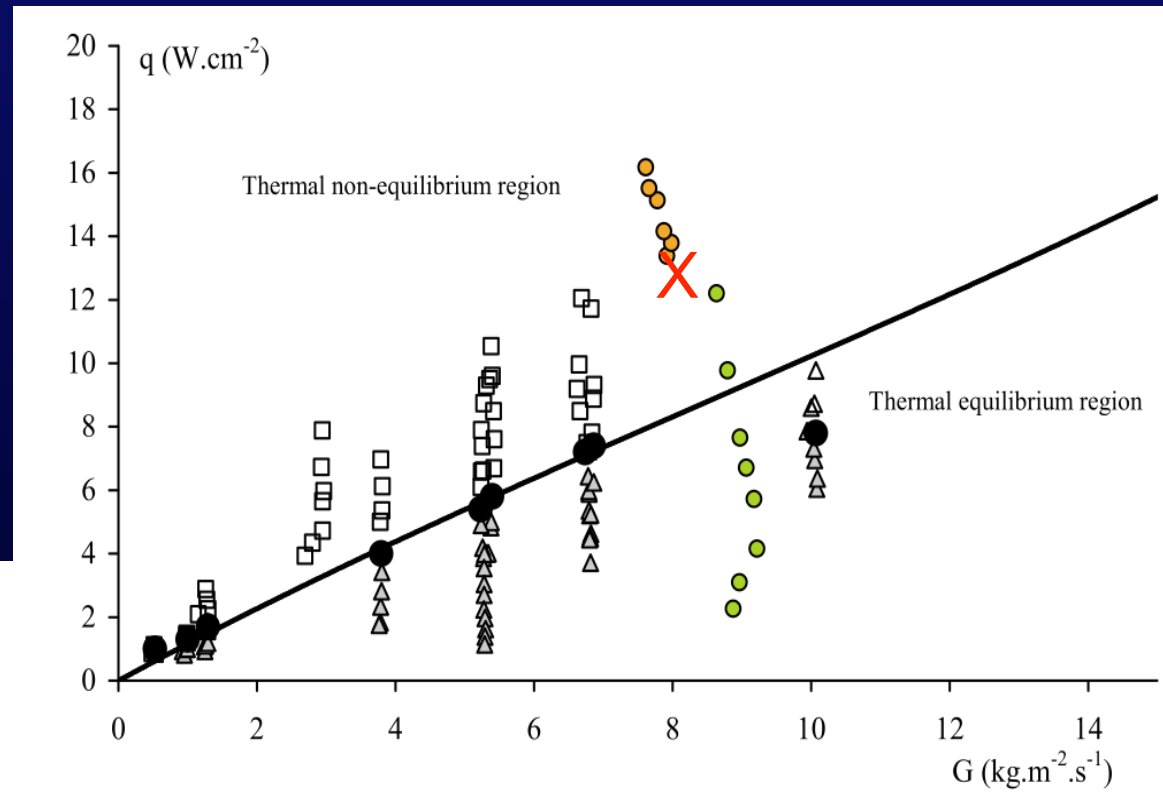
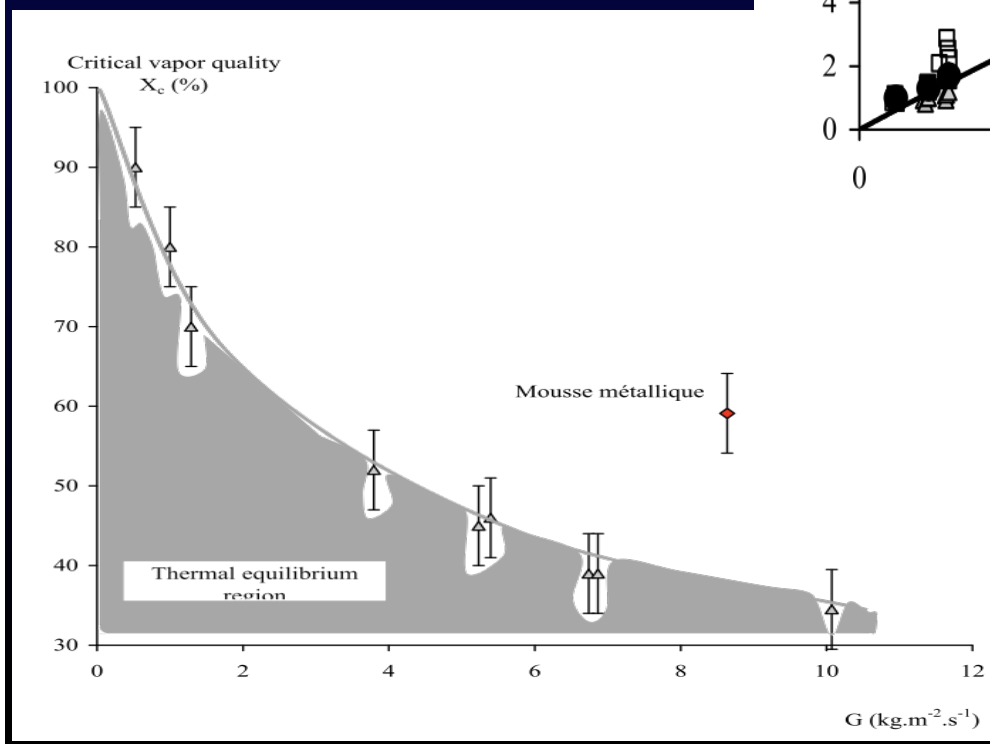
Déséquilibre thermique observable uniquement pour les plus



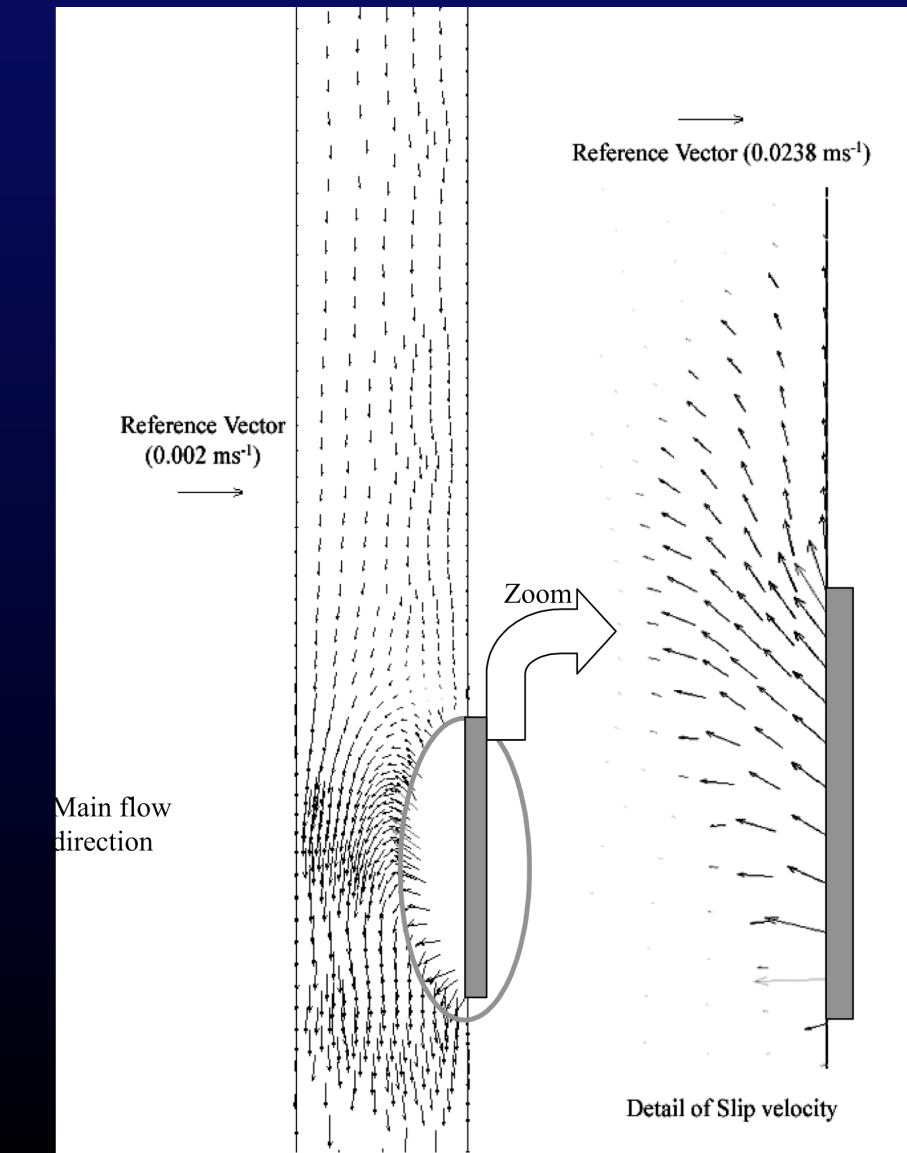
Courbe d'ébullition Comparaison mousse - fibres



Courbe critique



Intensification des transferts

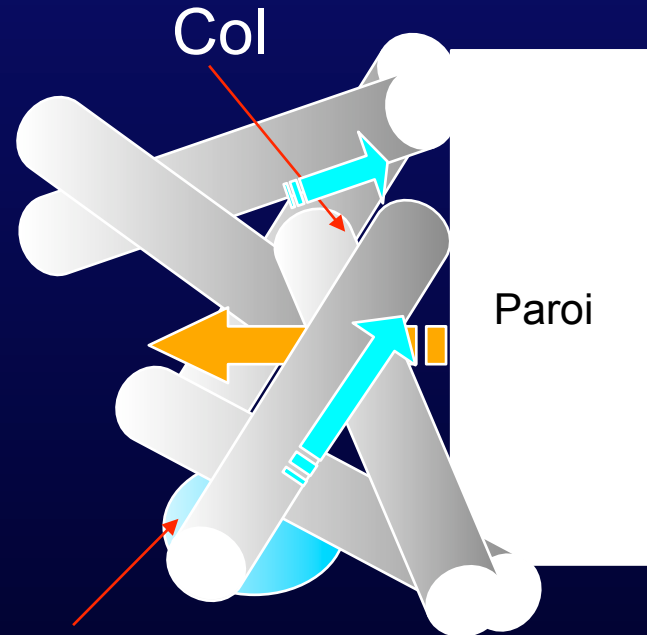


Vitesse de glissement

Mécanismes

- Changement de phase au voisinage de la paroi
- Réalimentation en liquide
- Evacuation de la vapeur
- Effet ailette de la matrice solide
 - Apport thermique au cœur de l'écoulement
 - Accroissement des surfaces d'évaporation

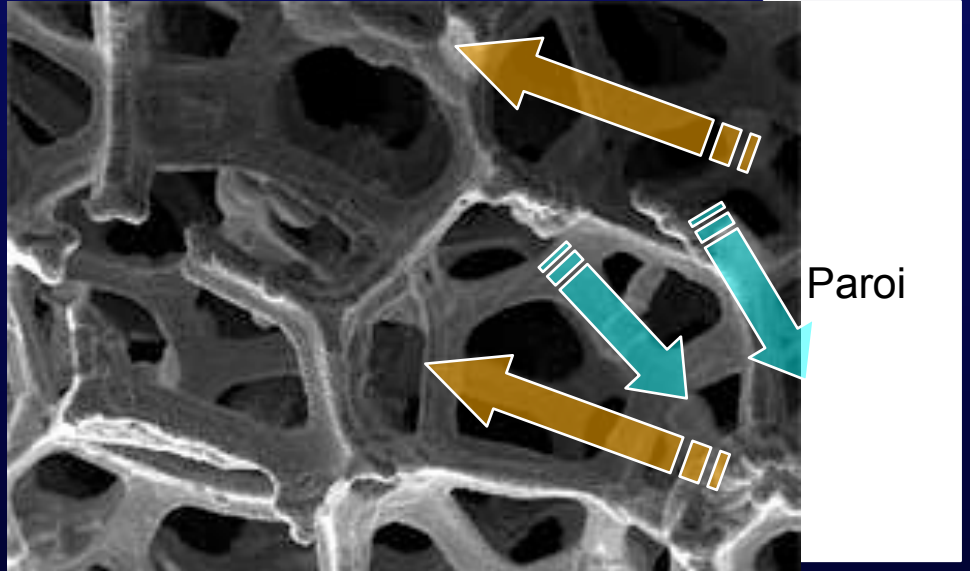
Interprétation « hydrodynamique »



Goutte au voisinage du contact/col

Cols limitent écoulements
(blocage par bulle ou
goutte)

Forme convexe ? films
liquide



Pas de constriction :
écoulements liquide
vapeur à contre courant

Forme concave favorise
l’ alimentation par des
films liquide